



**UNIVERSITAS INDONESIA**

**SISTEM IDENTIFIKASI BIOMETRIK PEMBULUH DARAH  
TELAPAK TANGAN MENGGUNAKAN METODE HIDDEN  
MARKOV MODEL**

**SKRIPSI**

**DONA ANDIKA SUKMA**  
**0906602585**

**FAKULTAS TEKNIK UNIVERSITAS INDONESIA  
PROGRAM STUDI TEKNIK ELEKTRO  
DEPOK  
JANUARI 2012**



**UNIVERSITAS INDONESIA**

**SISTEM IDENTIFIKASI BIOMETRIK PEMBULUH DARAH  
TELAPAK TANGAN MENGGUNAKAN METODE HIDDEN  
MARKOV MODEL**

**SKRIPSI**

**Diajukan sebagai salah satu syarat untuk memperoleh gelar menjadi  
Sarjana Teknik**

**DONA ANDIKA SUKMA**  
**0906602585**

**FAKULTAS TEKNIK UNIVERSITAS INDONESIA  
PROGRAM STUDI TEKNIK ELEKTRO  
DEPOK  
JANUARI 2012**

## PERNYATAAN ORISINALITAS

Saya menyatakan dengan sesungguhnya bahwa skripsi dengan judul :

**SISTEM IDENTIFIKASI BIOMETRIK PEMBULUH DARAH TELAPAK  
TANGAN MENGGUNAKAN METODE HIDDEN MARKOV MODEL**

Adalah hasil karya saya sendiri, dan semua sumber baik yang dikutip  
maupun dirujuk telah saya nyatakan dengan benar.

Nama : Dona Andika Sukma  
NPM : 0906602585  
Tanda Tangan :   
Tanggal : 19 Januari 2012

## PENGESAHAN

Skripsi diajukan oleh :  
Nama : **Dona Andika Sukma**  
NPM : **0906602585**  
Program Studi : **Teknik Elektro**  
Judul Skripsi : **Sistem Identifikasi Biometrik Pembuluh  
Darah Telapak Tangan Menggunakan Metode  
Hidden Markov Model**

Telah berhasil dipertahankan di hadapan Dewan Penguji dan diterima sebagai bagian persyaratan yang diperlukan untuk memperoleh gelar Sarjana Teknik pada Program Studi Teknik Elektro Fakultas Teknik, Universitas Indonesia

### DEWAN PENGUJI

Pembimbing : **Dr. Ir. Dodi Suidiana M.Eng**



Penguji I : **Dr. Ir. Arman D. Diponegoro**



Penguji II : **Ir. Purnomo Sidi Priambodo M.Sc., Ph.D.**



Ditetapkan di : **Depok**

Tanggal : **19 Januari 2012**

## KATA PENGANTAR

Puji Syukur saya panjatkan kepada ALLAH SWT, karena atas Berkah dan Rahmat-Nya, saya dapat menyelesaikan skripsi ini. Saya menyadari bahwa, tanpa bantuan dan bimbingan dari berbagai pihak, dari masa perkuliahan sampai penyusunan skripsi ini, sangatlah sulit bagi saya untuk menyelesaikan skripsi ini. Oleh karena itu, saya mengucapkan terima terima kasih kepada :

1. Dr. Ir. Dodi Sudiana M.Eng, selaku dosen pembimbing telah menyediakan waktu, tenaga dan pikiran untuk mengarahkan dalam penyusunan skripsi ini;
2. Dr. Ir. Arman D. Diponegoro M.Eng, yang juga telah memberikan bimbingan dan ilmunya dalam penyusunan skripsi ini;
3. PT. Fujitsu Indonesia, yang telah bersedia memberikan bantuan dalam penelitian ini;
4. Orang tua dan keluarga besar saya yang telah memberikan bantuan dukungan materil dan moril; dan
5. Teman dan sahabat yang telah banyak membantu saya dalam menyelesaikan skripsi ini.

Akhir kata, saya berharap ALLAH SWT berkenan membalas segala kebaikan semua pihak yang telah membantu. Semoga skripsi ini membawa manfaat bagi pengembangan ilmupengetahuan.

Depok, 19 Januari 2012



Penulis

**HALAMAN PERNYATAAN PERSETUJUAN PUBLIKASI  
TUGAS AKHIR UNTUK KEPENTINGAN AKADEMIS**

---

Sebagai sivitas akademik Universitas Indonesia, saya yang bertanda tangan dibawah ini :

**Nama** : **Dona Andika Sukma**  
**NPM** : **0906602585**  
**Program Studi** : **Teknik Elektro**  
**Departemen** : **TEKNIK ELEKTRO**  
**Fakultas** : **TEKNIK**  
**Jenis Karya** : **SKRIPSI**

Demi pengembangan ilmu pengetahuan, menyetujui untuk memberikan kepada Universitas Indonesia **Hak Bebas Royalti Noneksklusif (*Non-exclusive Royalty-Free Right*)** atas karya ilmiah saya yang berjudul :

**Sistem Identifikasi Biometrik Pembuluh Darah Telapak Tangan Menggunakan Metode Hidden Markov Model**

beserta perangkat yang ada (jika diperlukan). Dengan Hak Bebas Royalti Noneksklusif ini Universitas Indonesia berhak menyimpan, mengalihmedia/formatkan, mengelola dalam bentuk pangkalan data (*database*), merawat, dan memublikasikan tugas akhir saya selama tetap mencantumkan nama saya sebagai penulis/pencipta dan sebagai pemilik Hak Cipta.

Demikian pernyataan ini saya buat dengan sebenarnya.

Dibuat di : Depok

Pada tanggal : 19 Januari 2012

Yang menyatakan



( **Dona Andika Sukma** )

## ABSTRAK

Nama : Dona Andika Sukma  
Program Studi : Teknik Elektro  
Judul : Sistem Identifikasi Biometrik Pembuluh Darah Telapak Tangan Menggunakan Metode Hidden Markov Model

Skripsi ini berisi tentang pengidentifikasian biometrik melalui pola pembuluh darah telapak tangan dengan menggunakan metode *Hidden Markov Model* (HMM), dengan membandingkan keseluruhan sistem terhadap perubahan ukuran *codebook* dan jumlah iterasi. Metode HMM secara garis besar terdiri dari dua tahapan proses, yakni proses *training* database, dan proses identifikasi.

Pada sistem pengidentifikasian ini, gambar pembuluh darah telapak tangan yang digunakan adalah gambar dari *database CASIA-MS-PalmprintV1* yang dikumpulkan oleh *Chinese Academy of Sciences Institute of Automation* (CASIA). Gambar tersebut terlebih dahulu diolah dengan menentukan ROI. ROI yang sudah didapatkan kemudian diekstraksi dengan melakukan penambahan kontras, pengubahan gambar ke biner dan melakukan *thinning* terhadap garis-garis yang ada pada gambar sehingga pola pembuluh darah terlihat jelas.

Kata kunci : *Hidden Markov Model*, *codebook*, identifikasi biometrik, pembuluh darah telapak tangan

## ABSTRACT

Name : Dona Andika Sukma  
Study Program : Electrical Engineering  
Title : Palm Vein Biometric Identification System Using Hidden Markov Model Method

This thesis contains a biometric identification through palm vein patterns using Hidden Markov Models (HMM), by comparing the overall system to changes in the size of the codebook and the number of iterations. HMM method mainly consists of two stages of the process, first one is database training process, and the identification process.

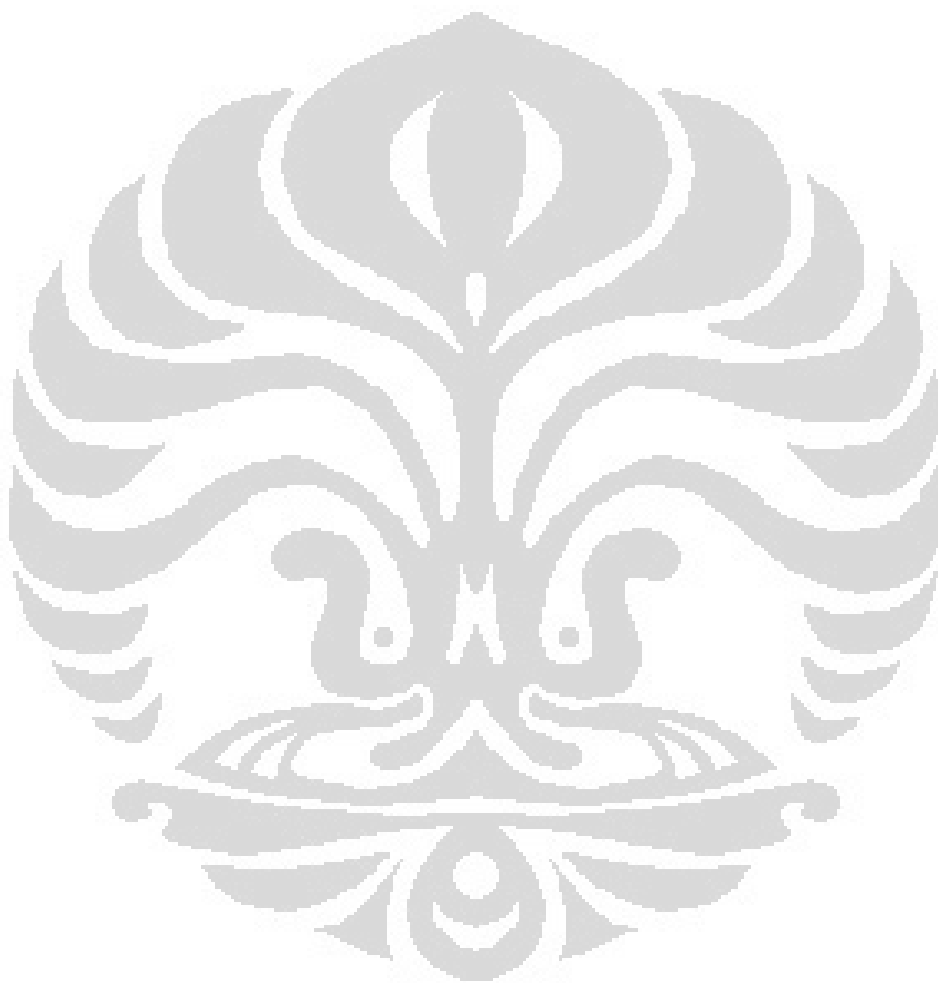
This identification system is using palm vein images from Casia-MS-PalmprintV1 database that collected by the Chinese Academy of Sciences Institute of Automation (Casia). First, images are processed by determining the ROI. ROI then extracted by adding contrast, convert to binary image and do the thinning of the lines in the image so that the pattern of vein clearly visible.

Key words : Hidden Markov Model, codebook, biometric identification, palm vein

## DAFTAR ISI

|   |           |
|---|-----------|
| HALAMAN JUDUL .....   | i         |
| HALAMAN PERNYATAAN ORISINALITAS.....  | ii        |
| PENGESAHAN .....  | iii       |
| KATA PENGANTAR.....   | iv        |
| HALAMAN PERSETUJUAN PUBLIKASI KARYA ILMIAH .....  | v         |
| ABSTRAK.....  | vi        |
| ABSTRACT .....  | vii       |
| DAFTAR ISI.....   | viii      |
| DAFTAR GAMBAR.....  | x         |
| DAFTAR TABEL.....   | xi        |
| <b>1. PENDAHULUAN.....</b>  | <b>1</b>  |
| 1.1 Latar Belakang.....   | 1         |
| 1.2 Tujuan Penulisan .....  | 2         |
| 1.3 Batasan Masalah.....  | 2         |
| 1.4 Metode Penulisan.....   | 2         |
| 1.5 Sistematika Penulisan .....   | 3         |
| <b>2. TINJAUAN PUSTAKA .....</b>  | <b>5</b>  |
| 2.1 Identifikasi Biometrik Pembuluh Darah Telapak Tangan ( <i>Palm Vein</i> ).....        | 5         |
| 2.1.1 <i>PalmSecure Mouse</i> Fujitsu.....  | 7         |
| 2.1.2 Kamera Dengan <i>Filter Infrared</i> .....  | 9         |
| 2.1.3 <i>Multi-Spectral Casia palmprint Image Database V1.0</i> .....                     | 10        |
| 2.2 Pengolahan Citra.....   | 10        |
| 2.2.1 Peningkatan Kualitas Citra.....   | 14        |
| 2.2.2 <i>Region Of Interest</i> .....   | 15        |
| 2.3 <i>Discrete Fourier Transform (DFT)</i> dan <i>Fast Fourier Transform (FFT)</i> ..... | 15        |
| 2.4 Vektor Kuantisasi .....   | 16        |
| 2.5 <i>Hidden Markov Model</i> .....  | 20        |
| 2.5.1 Tipe-tipe <i>Hidden Markov Model</i> .....  | 20        |
| 2.5.2 Elemen-elemen <i>Hidden Markov Model</i> .....                                      | 21        |
| <b>3. PERANCANGAN SISTEM IDENTIFIKASI PEMBULUH DARAH<br/>TELAPAK TANGAN .....</b>         | <b>24</b> |
| 3.1 Prinsip Kerja Sistem .....  | 24        |
| 3.2 Pembentukan <i>Database</i> .....   | 25        |
| 3.2.1 Tahap Ekstraksi Fitur Gambar .....  | 27        |
| 3.2.2 Pelabelan .....   | 31        |
| 3.2.3 Pembuatan <i>Codebook</i> .....   | 32        |
| 3.2.4 Pembentukan Parameter HMM.....  | 33        |
| 3.3 Proses Identifikasi.....  | 34        |
| <b>4. UJI COBA DAN ANALISA .....</b>  | <b>38</b> |
| 4.1 Uji Coba Sistem.....  | 38        |
| 4.1.1 Hasil Uji Coba Untuk Ukuran <i>Codebook</i> 32 .....                                | 42        |
| 4.1.2 Hasil Uji Coba Untuk Ukuran <i>Codebook</i> 64.....                                 | 43        |
| 4.1.3 Hasil Uji Coba Untuk Ukuran <i>Codebook</i> 128.....                                | 45        |

|  |           |
|--|-----------|
| 4.1.4 Hasil Uji Coba Untuk Ukuran <i>Codebook</i> 256.....             | 46        |
| 4.1.5 Hasil Uji Coba Untuk Ukuran <i>Codebook</i> 512.....             | 47        |
| 4.1.6 Hasil Uji Coba Untuk Ukuran <i>Codebook</i> 1024.....            | 48        |
| 4.2 Analisa Sistem.....  | 49        |
| 4.2.1 Pengaruh Variasi Ukuran <i>Codebook</i> Terhadap Tingkat Akurasi | 50        |
| 4.2.2 Pengaruh Variasi Jumlah Iterasi Terhadap Tingkat Akurasi.....    | 50        |
| 4.3 Faktor Lain Yang Mempengaruhi Tingkat Akurasi.....                 | 51        |
| <b>5. KESIMPULAN.....</b>  | <b>53</b> |
| DAFTAR ACUAN .....   | 54        |
| DAFTAR PUSTAKA .....   | 55        |

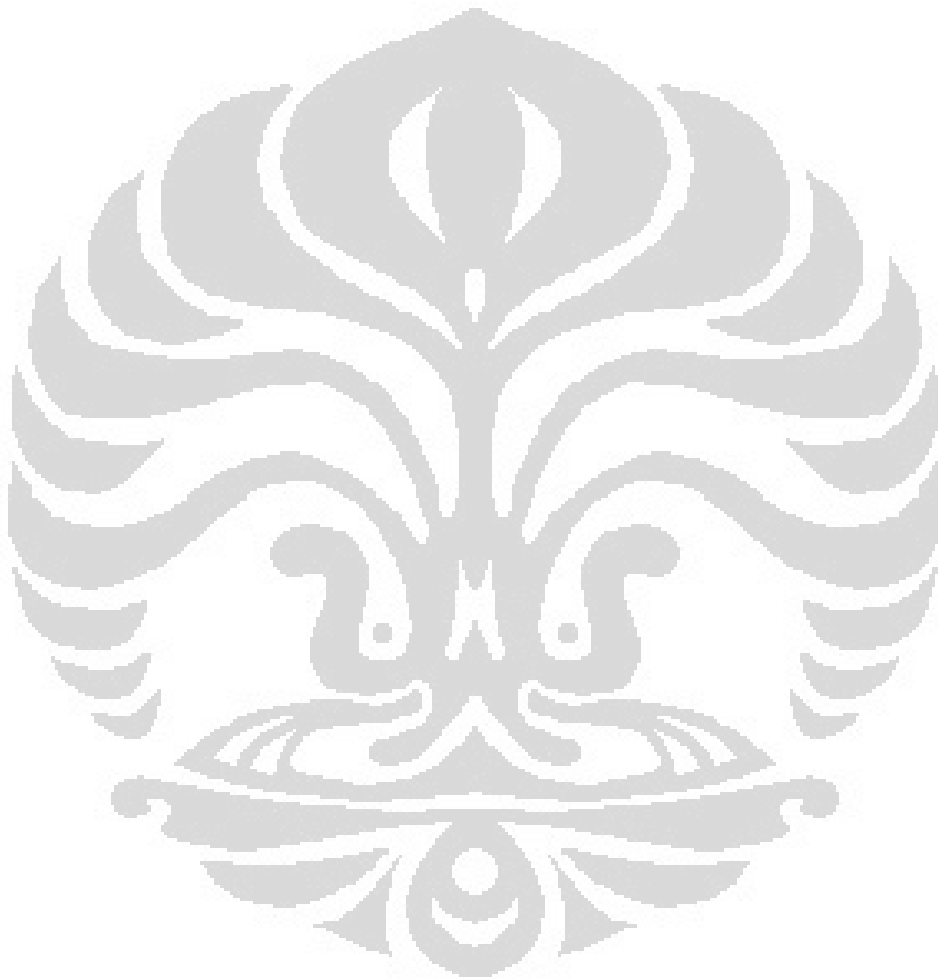


## DAFTAR GAMBAR

|             |  |    |
|-------------|--|----|
| Gambar 2.1  | Tingkat keamanan dan kenyamanan dari berbagai metode identifikasi biometrik .....                            | 5  |
| Gambar 2.2  | Ekstraksi pola pembuluh darah telapak tangan.....  | 6  |
| Gambar 2.3  | <i>PalmSecure Mouse</i> Fujitsu.....   | 7  |
| Gambar 2.4  | Proses verifikasi <i>user</i> pada software <i>Omnipass</i> dengan menggunakan <i>PalmSecure Mouse</i> ..... | 8  |
| Gambar 2.5  | <i>Filter infrared</i> HOYA R72.....   | 9  |
| Gambar 2.6  | Hasil pengambilan gambar menggunakan <i>filter infrared 720nm</i> .....                                      | 9  |
| Gambar 2.7  | Perangkat pencitraan <i>multiple spectral</i> .....  | 10 |
| Gambar 2.8  | Pemetaan pada proses vektor kuantisasi .....   | 17 |
| Gambar 2.9  | <i>Codebook</i> dari suatu input <i>vector</i> .....   | 18 |
| Gambar 2.10 | Diagram alur dari <i>LBG algorithm</i> .....   | 20 |
| Gambar 2.11 | HMM dengan 4 state .....   | 21 |
| Gambar 3.1  | Blok Diagram Sistem .....  | 24 |
| Gambar 3.2  | Rancangan GUI untuk halaman utama.....   | 25 |
| Gambar 3.3  | Diagram alir pembentukan <i>database</i> .....   | 26 |
| Gambar 3.4  | Tampilan GUI pembentukan <i>database</i> .....   | 27 |
| Gambar 3.5  | Menentukan ROI.....  | 28 |
| Gambar 3.6  | Peningkatan kualitas citra.....  | 29 |
| Gambar 3.7  | Proses ekstraksi .....   | 31 |
| Gambar 3.8  | Hasil tampilan <i>codebook</i> .....   | 33 |
| Gambar 3.9  | Probabilitas satu label <i>palmvein</i> dengan 5 iterasi.....  | 34 |
| Gambar 3.10 | Diagram alir prose identifikasi.....   | 36 |
| Gambar 3.11 | Tampilan GUI identifikasi .....  | 37 |
| Gambar 4.1  | Tampilan GUI setelah menginput gambar untuk training <i>database</i> .....                                   | 39 |
| Gambar 4.2  | Tampilan GUI saat training <i>codebook</i> .....   | 40 |
| Gambar 4.3  | Tampilan GUI saat sistem sudah berhasil membuat HMM .....  | 41 |
| Gambar 4.4  | Tampilan GUI pada saat identifikasi.....   | 42 |
| Gambar 4.5  | Ekstraksi dari dua gambar yang memiliki perbedaan kualitas gambar.....                                       | 52 |

## DAFTAR TABEL

|           |  |    |
|-----------|--|----|
| Tabel 4.1 | Hasil uji coba untuk ukuran <i>codebook</i> 32 .....   | 42 |
| Tabel 4.2 | Hasil uji coba untuk ukuran <i>codebook</i> 64 .....   | 43 |
| Tabel 4.3 | Hasil uji coba untuk ukuran <i>codebook</i> 128 .....  | 45 |
| Tabel 4.4 | Hasil uji coba untuk ukuran <i>codebook</i> 256 .....  | 46 |
| Tabel 4.5 | Hasil uji coba untuk ukuran <i>codebook</i> 512 .....  | 47 |
| Tabel 4.6 | Hasil uji coba untuk ukuran <i>codebook</i> 1024 ..... | 48 |
| Tabel 4.7 | Persentase akurasi dari hasil percobaan.....           | 50 |



# BAB 1 PENDAHULUAN

## 1.1 Latar Belakang

Sistem biometrik pada dasarnya adalah sebuah sistem pengenalan pola yang mengenali seseorang berdasarkan fitur vektor yang berasal dari karakteristik fisiologis atau perilaku tertentu yang dimiliki seseorang [1].

Dewasa ini sudah banyak sekali sistem identifikasi biometrik yang berkembang, diantaranya identifikasi biometrik melalui sidik jari, wajah, iris mata, suara, tanda tangan, dan lain sebagainya. Dan belakangan sedang dikembangkan adalah identifikasi biometrik melalui pembuluh darah telapak tangan.

Setiap individu memiliki pola pembuluh darah telapak tangan yang berbeda-beda, walaupun bagi orang yang kembar identik sekalipun. Pola pembuluh darahnya pasti tidak akan sama, dan pola itu tidak berubah sepanjang hidup manusia. Hal itu menjadi latar belakang para peneliti untuk menggunakan pola pembuluh darah telapak tangan sebagai cara untuk mengidentifikasi seseorang. Ditambah lagi pembuluh darah sangat tidak memungkinkan untuk dipalsukan. Tidak seorangpun yang bisa memanipulasi pembuluh darahnya.

Pembuluh darah tidak dapat dilihat secara kasat mata, tetapi dapat dideteksi dengan menggunakan spektrum *near-infrared* yang mana darah dan aliran darah menimbulkan perbedaan temperatur dengan jaringan disekitarnya. Perbedaan tersebut dapat diperjelas dengan menggunakan pencahayaan *near-infrared* [2]. Telapak tangan adalah bagian tubuh ideal dari teknologi ini, yang mana tidak memiliki rambut yang bisa menghalangi pemotretan pola pembuluh darah dan merupakan bagian yang tidak rentan terhadap perubahan warna kulit, tidak seperti halnya jari atau bagian punggung tangan [1].

Kelebihan identifikasi biometrik pola pembuluh darah telapak tangan dibandingkan biometrik lainya adalah [3]:

1. Dapat diaplikasikan ke setiap orang.
2. Dapat digunakan tanpa adanya kontak langsung (*contactless*) dan bersifat higienis, tidak seperti sidik jari yang mengharuskan adanya kontak langsung dan pembersihan sensor secara berkala.

3. Dapat bekerja pada tangan yang kotor atau tangan terluka (selama hanya luka pada kulit).
4. Pendaftaran sekali seumur hidup, karena pola pembuluh darah tidak akan ada perubahan sepanjang hidup.
5. Fitur biometrik berada didalam tubuh.
6. Kriteria keamanan yang terjamin.

Metode yang akan digunakan untuk mengidentifikasi pola pembuluh darah telapak tangan pada skripsi ini adalah metode *Hidden Markov Model* (HMM). Pemilihan HMM didasarkan atas kemampuannya yang dapat memodelkan data 2 dimensi seperti citra dengan baik, serta mendapatkan hasil yang lebih teliti.

## 1.2 Tujuan Penulisan

Tujuan penulisan skripsi ini adalah untuk membangun perangkat lunak biometrik yang mampu mengidentifikasi pola pembuluh darah telapak tangan dengan menggunakan metode *Hidden Markov Model* dan merancang sistem identifikasi menggunakan perangkat lunak pengolah data matematis. Serta dapat mengekstraksi pola pembuluh darah telapak tangan (*Feature Extraction*).

## 1.3 Batasan Masalah

Perangkat lunak tidak bersifat *real-time*. Gambar pembuluh darah telapak tangan pada penelitian ini akan menggunakan gambar dari *database CASIA-MS-PalmprintV1* yang dikumpulkan oleh *Chinese Academy of Sciences Institute of Automation* (CASIA), yang kemudian dipanggil pada perangkat lunak. Gambar yang dipakai dari *database* adalah hasil pengambilan gambar dengan menggunakan panjang gelombang *near-infrared* sebesar 940nm.

## 1.4 Metode Penulisan

### 1. Studi Literatur

Studi literatur sangat berguna untuk memperoleh informasi yang berkaitan dengan penelitian yang akan dibuat, mengacu pada buku-buku pegangan, informasi yang didapat dari internet, jurnal-jurnal dan makalah-makalah yang membahas tentang penelitian tersebut.

## 2. Perancangan dan Pembuatan Sistem

Proses perancangan merupakan suatu proses perencanaan bagaimana sistem akan bekerja. Berisi tentang proses perencanaan sistem yang berupa perangkat lunak.

## 3. Pengujian Sistem

Dari sistem yang dibuat, maka dilakukan pengujian terhadap masing-masing bagian dengan tujuan untuk mengetahui kinerja dari sistem tersebut apakah sudah sesuai dengan yang diharapkan atau belum.

## 4. Pengumpulan Data

Setelah diuji secara keseluruhan sebagai suatu kesatuan sistem, dapat dilihat apakah rancangan software sudah dapat bekerja dengan benar atau masih dibutuhkan beberapa perbaikan. Jika sistem sudah dapat bekerja dengan benar, maka dapat dilakukan pengumpulan data yang dianggap penting dan diperlukan.

## 5. Penulisan Hasil penelitian

Hasil dari pengujian dan pengumpulan data kemudian dianalisa. Dari sini dapat ditarik kesimpulan dari penelitian yang telah dilakukan.

### 1.5 Sistematika Penulisan

Pada penulisan skripsi ini terdiri dari 5 (lima) bab, dimana masing-masing bab mempunyai kaitan satu sama lain yaitu :

#### BAB 1. PENDAHULUAN

Pada bab ini berisi tentang latar belakang, tujuan, pembatasan masalah, dan sistematika penulisan.

#### BAB 2. TINJAUAN PUSTAKA

Tinjauan pustaka berisi landasan-landasan teori sebagai hasil dari studi literatur yang berhubungan dalam perancangan dan pembuatan.

#### BAB 3. PERANCANGAN SISTEM IDENTIFIKASI PEMBULUH DARAH TELAPAK TANGAN

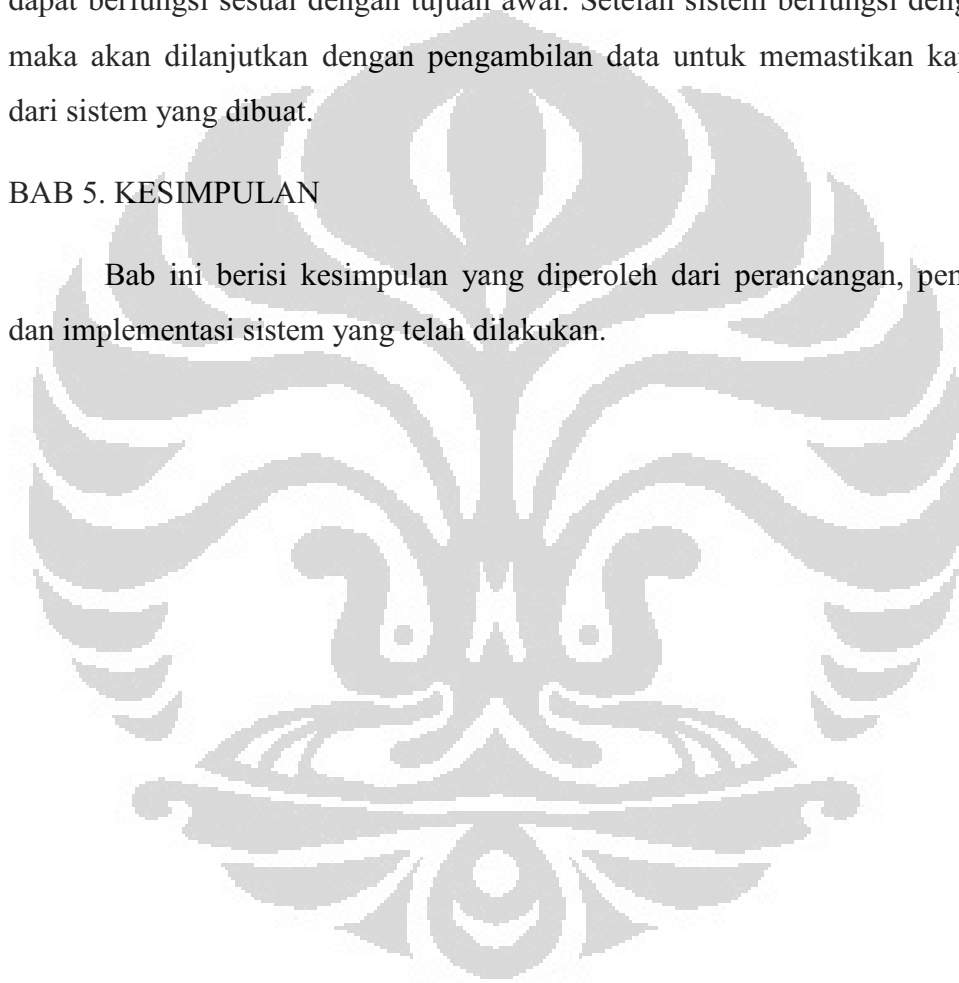
Proses perancangan merupakan suatu proses perencanaan bagaimana sistem ini akan bekerja. Berisi tentang proses perencanaan software. Pada bagian ini akan membahas perancangan dan pembuatan sistem.

#### BAB 4. UJI COBA DAN ANALISA

Bab ini berisi tentang implementasi sistem sebagai hasil dari perancangan sistem. Pengujian akhir nantinya akan dilakukan untuk memastikan bahwa sistem dapat berfungsi sesuai dengan tujuan awal. Setelah sistem berfungsi dengan baik maka akan dilanjutkan dengan pengambilan data untuk memastikan kapabilitas dari sistem yang dibuat.

#### BAB 5. KESIMPULAN

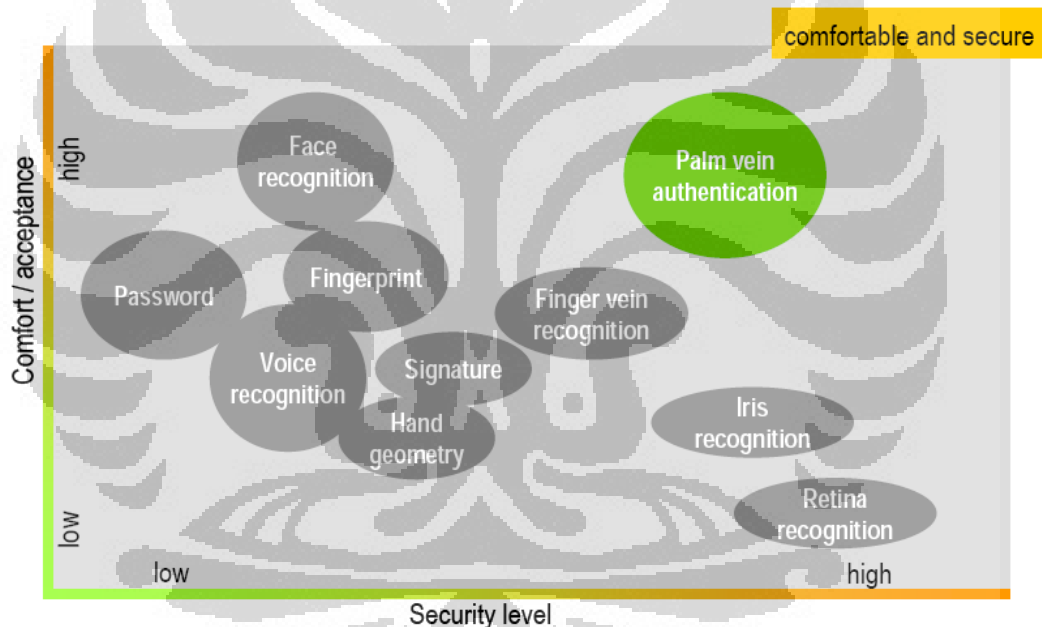
Bab ini berisi kesimpulan yang diperoleh dari perancangan, pembuatan, dan implementasi sistem yang telah dilakukan.



## BAB 2 TINJAUAN PUSTAKA

### 2.1 Identifikasi Biometrik Pembuluh Darah Telapak Tangan (*Palm Vein*)

Biometrik adalah suatu metode pengenalan seseorang berdasarkan karakteristik fisiologis atau perilaku. Fitur-fitur yang biasanya diukur adalah ; wajah, sidik jari, geometri tangan, tulisan tangan, iris, retina, pembuluh darah dan suara. Poin kunci dalam metode identifikasi adalah ‘*nontransferable*’ yaitu tidak dapat diberikan atau dipinjamkan kepada orang lain [4]. Hal lain yang perlu diperhatikan dari berbagai metode identifikasi biometrik adalah tingkat keamanan dan kenyamanan dari metode identifikasi biometrik itu sendiri.

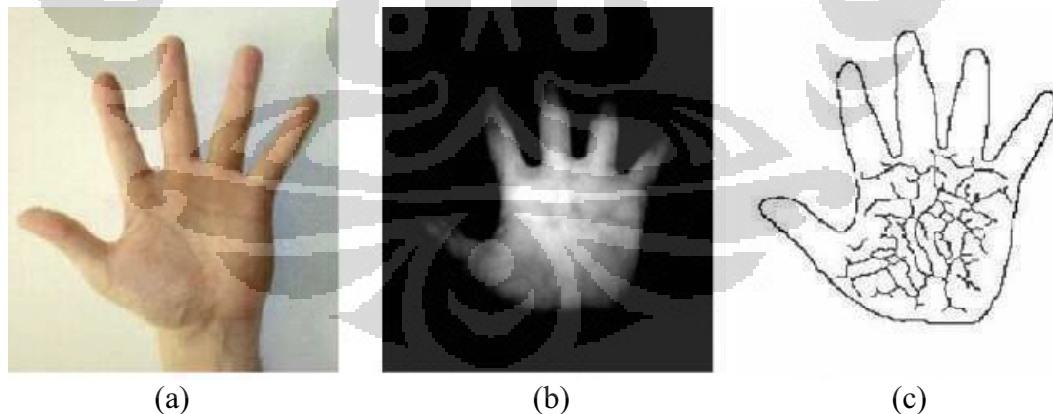


Gambar 2.1 Tingkat keamanan dan kenyamanan dari berbagai metode identifikasi biometrik [5]

Identifikasi pembuluh darah telapak tangan bekerja dengan membandingkan pola pembuluh darah dari seseorang yang akan diidentifikasi dengan pola yang sudah tersimpan didalam *database*. Pola pembuluh darah memiliki keunikan bagi setiap individu, berdasarkan *research* yang telah dilakukan oleh Fujitsu - bahkan kembar identik sekalipun memiliki pola pembuluh darah yang berbeda. Dan karena pola pembuluh darah berada pada bagian dalam tubuh, maka informasinya tidak dapat dicuri atau diduplikasikan

dengan cara pengambilan foto biasa, perekaman suara atau sidik jari, sehingga membuat metode identifikasi ini lebih aman dari pada metode lainnya.

Hemoglobin dalam darah teroksigenasi di paru-paru dan membawa oksigen ke jaringan-jaringan tubuh melalui arteri. Setelah ia melepaskan oksigen ke jaringan, hemoglobin terdeoksidasi kembali ke jantung melalui pembuluh darah. Kedua jenis hemoglobin memiliki tingkat penyerapan yang berbeda. Hemoglobin terdioksidasi menyerap cahaya pada panjang gelombang sekitar 760nm di daerah *near-infrared*. Ketika telapak tangan disinari oleh cahaya *near-infrared*, gambar yang terlihat tidak menyerupai gambar yang dapat dilihat oleh mata manusia (Gambar 2.2 (a)), hemoglobin terdeoksidasi pada pembuluh darah telapak tangan menyerap cahaya tersebut, sehingga mengurangi tingkat refleksi dan menyebabkan pembuluh darah muncul sebagai pola hitam (Gambar 2.2 (b)). Dalam identifikasi pembuluh darah pada prinsip ini, daerah yang digunakan untuk identifikasi adalah hasil foto dengan cahaya *near-infrared*, kemudian pola pembuluh darah diekstrak menggunakan pengolahan citra / *image processing* (Gambar 2.2 (c)) dan diregistrasikan ke *database*. Pola pembuluh darah orang yang akan diidentifikasi kemudian dibandingkan dengan pola yang sudah diregistrasikan sebelumnya.



Gambar 2.2 Ekstraksi pola pembuluh darah telapak tangan, (a) Gambar terlihat oleh mata, (b) Gambar dari sinar *near-infrared*, dan (c) Pola pembuluh darah yang sudah diekstrak [5]

Selain pada telapak tangan, identifikasi pembuluh darah dapat dilakukan dengan menggunakan pola pembuluh darah di punggung tangan atau jari. Namun, pola pembuluh darah telapak tangan adalah paling kompleks dan mencakup

wilayah terluas. Karena telapak tangan tidak memiliki rambut, akan lebih memudahkan untuk mengambil gambar pola pembuluh darahnya. Telapak tangan juga tidak memiliki variasi warna kulit yang signifikan dibandingkan jari atau punggung tangan, yang mana warna bisa lebih gelap pada daerah tertentu.

Fitur *contactless* membuat perangkat ini cocok digunakan untuk tempat dimana sangat memperhatikan faktor higienis, seperti tempat-tempat umum atau fasilitas medis. Hal ini juga menghilangkan keraguan yang mungkin dimiliki seseorang untuk berkontak dengan sesuatu yang sebelumnya sudah disentuh banyak orang [5].

Dalam upaya pengambilan gambar pembuluh darah pada penelitian ini, telah dilakukan berbagai cara, diantaranya dengan menggunakan sensor dalam bentuk *mouse* yang diproduksi oleh PT. Fujitsu dan dikenal dengan *PalmSecure Mouse*. Dan cara lain yaitu pengambilan gambar dengan menggunakan kamera DSLR yang telah terpasang *filter infrared*.

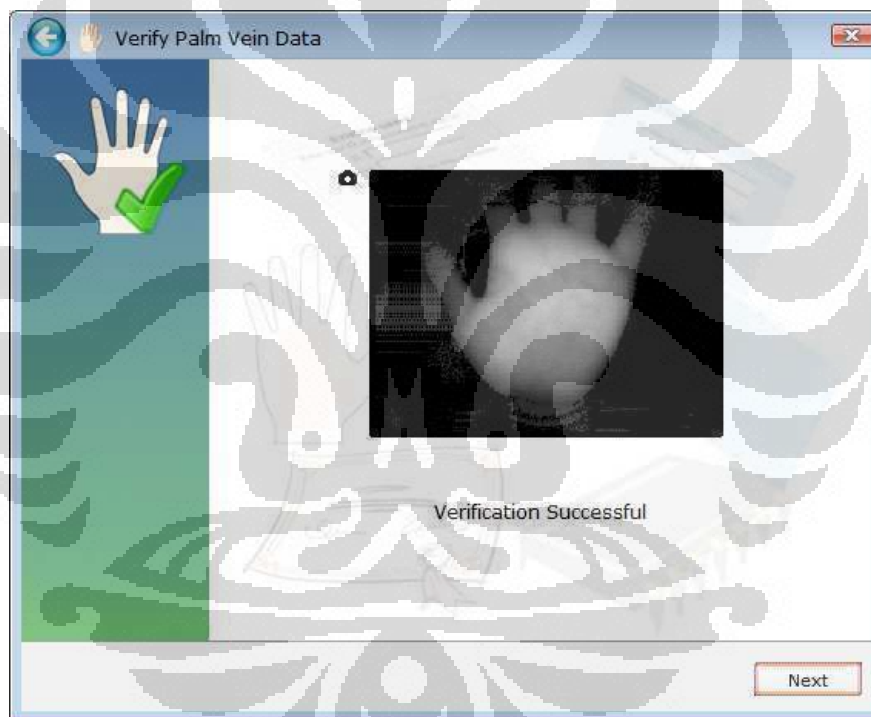
### 2.1.1 *PalmSecure Mouse Fujitsu*

*PalmSecure Mouse* yang diproduksi oleh PT. Fujitsu ini merupakan contoh produk dengan pemanfaatan pembuluh darah telapak tangan sebagai metode identifikasi untuk *aplikasi* login pada komputer. *Mouse* ini bekerja dengan menggunakan *software Softex Omnipass Version 7.0*. Tetapi *software* ini hanya dapat bekerja pada komputer dengan *processor 64bit*.



Gambar 2.3 *PalmSecure Mouse* Fujitsu

Cara kerja aplikasi *palmsecure mouse* ini adalah terlebih dahulu memverifikasi data telapak tangan *user*. Telapak tangan yang akan diverifikasi didekatkan ke mouse. Sistem akan mengambil gambar dari pembuluh darah *user* dan melakukan verifikasi. Gambar dari telapak tangan tersebut akan terlihat pada layar aplikasi. Untuk proses *login*, sistem akan meminta *user* untuk mendekatkan telapak tangannya ke *mouse* dan membandingkannya dengan data pembuluh darah yang telah diverifikasi sebelumnya. Apabila data pembuluh darah tersebut sama dengan data yang telah diverifikasi, maka komputer akan *login* dengan sendirinya tanpa harus mengetik *password* lagi. Ini sangat memudahkan *user* untuk *login* tanpa harus mengingat *password* dan mengetiknya pada saat *login*.



Gambar 2.4 Proses verifikasi *user* pada *software Omnipass* dengan menggunakan *PalmSecure Mouse*

Pada software aplikasi ini, file gambar hasil verifikasi tidak tersimpan dalam sistem. Sehingga pengambilan gambar pada penelitian skripsi ini yang tadinya direncanakan dilakukan dengan menggunakan sensor *mouse* tersebut tidak jadi dilakukan karena tidak tersedianya *file* gambar hasil verifikasi tersebut, dan apabila pengambilan gambar dilakukan dengan *printscreen* pada layar hasil verifikasi, maka gambar pembuluh darah tidak akan terlihat jelas.

### 2.1.2 Kamera Dengan *Filter Infrared*

Untuk mendapatkan gambar pembuluh darah telapak tangan, cara lain yang dilakukan adalah dengan menggunakan kamera DSLR Canon 1000D dan *filter infrared* HOYA R72 dengan panjang gelombang 720nm. Lensa kamera dipasangkan *filter infrared* dan pencahayaan diatur sedemikian rupa.



Gambar 2.5 *Filter infrared* HOYA R72

Banyak faktor yang mempengaruhi hasil pengambilan gambar, diantaranya pengaturan cahaya dan *shutter speed* atau waktu *capture* gambar yang lambat dalam upaya pengumpulan cahaya yang dibutuhkan. Sehingga apabila objek yang akan difoto bergerak sedikit saja, maka gambar yang dihasilkan akan *blur*. Dan pola pembuluh darah tidak terlihat dengan jelas.

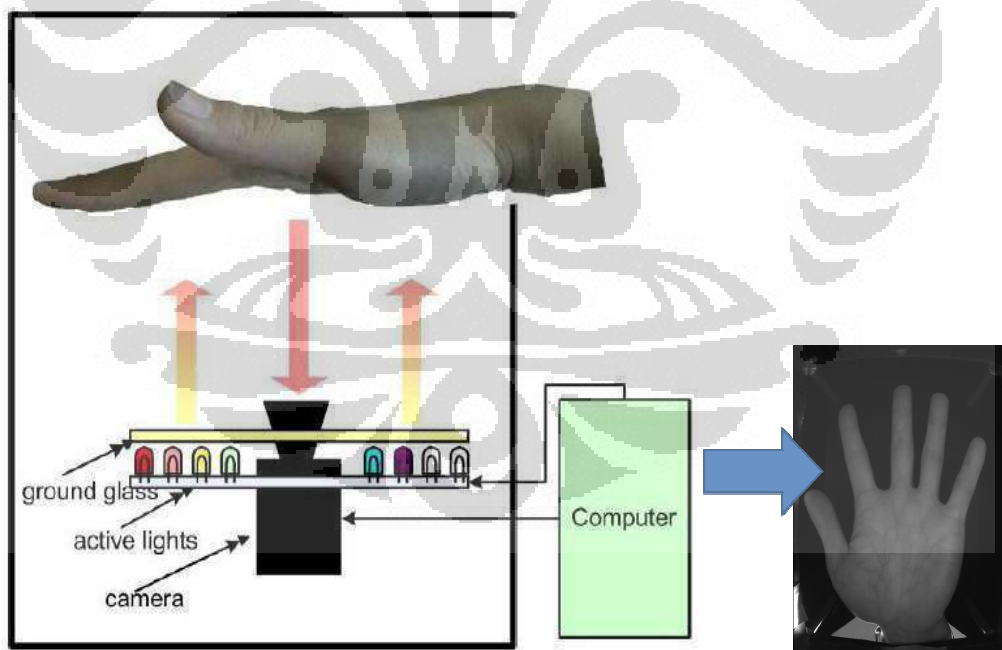


Gambar 2.6 Hasil pengambilan gambar menggunakan *filter infrared* 720nm

Karena hasil gambar yang *blur* dan pembuluh darah tidak terlalu terlihat, maka pengambilan gambar dengan menggunakan kamera dan *filter infrared* pada penelitian ini juga tidak jadi dilakukan.

### 2.1.3 *Multi-Spectral Casia palmprint Image Database V1.0*

*Multi-Spectral Casia palmprint Image Database V1.0* (atau disingkat dengan *Casia-MS-PalmprintV1*) dirilis dalam rangka untuk mempromosikan penelitian dan kemajuan pada pencitraan *multiple spectral* dari modalitas biometrik. *CASIA Multi-Spectral Palmprint Image Database* terdiri atas 7.200 gambar telapak tangan dari 100 orang yang berbeda dengan menggunakan perangkat pencitraan *multiple spectral* yang dirancang sendiri. Perangkat dilengkapi dengan penerangan secara merata dan pengambilan gambar telapak tangan menggunakan kamera CCD yang terletak pada bagian bawah perangkat. Semua gambar telapak tangan merupakan *file* JPEG dengan tingkat keabuan 8bit [6].



Gambar 2.7 Perangkat pencitraan *multiple spectral* [6]

## 2.2 Pengolahan Citra

Citra adalah gambar dua dimensi yang dihasilkan dari gambar analog dua dimensi yang kontinu menjadi gambar diskrit melalui proses digitalisasi. Citra

yang terlihat merupakan cahaya yang direfleksikan dari sebuah objek. Sumber cahaya menerangi objek lalu objek memantulkan kembali sebagian dari berkas cahaya tersebut dan pantulan cahaya ditangkap oleh alat-alat optik, misalnya mata manusia, kamera, *scanner*, sensor satelit dan sebagainya, kemudian direkam. Citra sebagai keluaran suatu sistem perekaman data dapat bersifat optik berupa foto, bersifat analog berupa sinyal-sinyal video seperti gambar pada monitor televisi, atau bersifat digital yang dapat langsung disimpan pada suatu media penyimpanan magnetik. Citra juga dapat dikelompokkan menjadi dua yaitu : citra tampak seperti foto/gambar, lukisan, dan apa saja yang tampak di layar monitor/televisi, hologram, dan sebagainya, serta citra yang tidak tampak seperti data foto/gambar dalam file, dan citra yang dipresentasikan dalam fungsi matematis. Ada beberapa macam tipe suatu citra didasarkan dari format penyimpanan warnanya, yaitu [7]:

1. Citra biner adalah citra yang setiap pikselnya hanya bernilai 0 (warna hitam) dan 1 (putih).
2. Citra skala keabuan adalah citra yang setiap pikselnya mempunyai kemungkinan warna antara hitam (minimal) dan putih (maksimal),
3. Citra warna (true color) adalah citra yang setiap pikselnya memiliki warna yang merupakan kombinasi dari tiga warna dasar, yaitu merah, hijau dan biru (RGB).
4. Citra warna berindeks adalah citra yang setiap pikselnya mewakili indeks dari suatu tabel warna yang tersedia (biasanya disebut palet warna).

Meskipun sebuah citra kaya informasi, namun seringkali citra yang dimiliki mengalami penurunan mutu (degrasi), misalnya mengandung cacat atau derau (*noise*), warnanya terlalu kontras, kurang tajam, kabur (*blurring*), dan sebagainya. Tentu saja citra semacam ini menjadi lebih sulit diinterpretasi karena informasi yang disampaikan oleh citra tersebut menjadi berkurang. Agar citra yang mengalami gangguan mudah diinterpretasi (baik oleh manusia maupun mesin), maka citra tersebut perlu dimanipulasi menjadi citra lain yang kualitasnya lebih baik. Bidang yang menyangkut hal ini adalah pengolahan citra (*image processing*).

Pada dasarnya ada tiga bidang yang menangani pengolahan data berbentuk citra, yaitu : grafika komputer, pengolahan citra, dan visi komputer. Pada bidang grafika komputer banyak dilakukan proses yang bersifat sintesis yang mempunyai ciri data masukan berbentuk deskriptif dengan keluaran hasil proses yang berbentuk citra. Sedangkan proses di dalam bidang visi komputer merupakan kebalikan dari proses grafika. Terakhir, bidang pengolahan citra merupakan proses pengolahan dan analisis citra dengan data masukan maupun data keluarannya berbentuk citra. Pengolahan citra merupakan proses pengolahan dan analisis citra yang banyak melibatkan persepsi visual. Pengolahan citra bertujuan memperbaiki kualitas citra agar mudah diinterpretasi oleh manusia ataupun mesin (dalam hal ini komputer). Teknik-teknik pengolahan citra mentransformasikan citra menjadi citra lain. Jadi, masukannya adalah citra dan keluarannya juga citra, namun citra keluaran mempunyai kualitas lebih baik daripada citra masukan.

Operasi-operasi yang dilakukan dalam pengolahan citra banyak ragamnya. Namun, secara umum, pada pengolahan citra terdapat enam jenis operasi pengolahan, yaitu [7]:

1. Peningkatan kualitas citra (*image enhancement*)

Jenis operasi ini bertujuan untuk memperbaiki kualitas citra dengan cara memanipulasi parameter-parameter citra. Dengan operasi ini, ciri-ciri khusus yang terdapat di dalam citra lebih ditonjolkan. Contoh-contoh operasi peningkatan kualitas citra :

- a. Perbaikan kontras gelap/terang
- b. Perbaikan tepian objek (*edge enhancement*)
- c. Penajaman (*sharpening*)
- d. Pemberian warna semu (*pseudocoloring*)
- e. Penapisan derau (*noise filtering*)

2. Restorasi citra (*image restoration*)

Operasi ini bertujuan menghilangkan/meminimumkan cacat pada citra. Tujuan restorasi citra hampir sama dengan operasi peningkatan kualitas citra. Bedanya, pada restorasi citra menyebabkan degradasi gambar diketahui. Contoh-contoh operasi restorasi citra :

- a. Penghilangan kesamaran (*deblurring*)

b. Penghilangan derau (*noise*)

3. Kompresi citra (*image compression*)

Jenis operasi ini dilakukan agar citra dapat dipresentasikan dalam bentuk yang lebih kompak sehingga memerlukan memori yang lebih sedikit. Hal penting yang harus diperhatikan dalam kompresi citra adalah citra yang telah dikompresikan harus tetap mempunyai kualitas gambar yang bagus. Contoh metode kompresi citra adalah metode JPEG.

4. Segmentasi citra (*image segmentation*)

Operasi ini adalah suatu tahap proses analisis citra yang bertujuan untuk memperoleh informasi yang ada dalam citra tersebut dengan membagi citra ke dalam daerah-daerah terpisah dimana setiap daerah adalah homogen dan mengacu pada sebuah kriteria keseragaman yang jelas. Segmentasi yang dilakukan pada citra harus tepat agar informasi yang terkandung di dalamnya dapat diterjemahkan dengan baik.

5. Analisis citra (*image analysis*)

Jenis operasi ini bertujuan menghitung besaran kuantitatif dari citra untuk menghasilkan deskripsinya. Teknik analisis citra mengekstraksi ciri-ciri tertentu yang membantu dalam identifikasi objek. Proses segmentasi kadangkala diperlukan untuk melokalisasi objek yang diinginkan dari sekelilingnya. Contoh-contoh operasi analisis citra :

a. Pendeteksian tepi objek (*edge detection*)

b. Ekstraksi batas (*boundary*)

c. Representasi daerah (*region*)

6. Rekonstruksi citra (*image reconstruction*)

Jenis operasi ini bertujuan untuk membentuk ulang objek dari beberapa citra hasil proyeksi. Operasi rekonstruksi citra banyak digunakan dalam bidang medis. Misalnya beberapa foto *rontgen* dengan sinar  $X$  digunakan untuk membentuk ulang gambar organ tubuh,

### 2.2.1 Peningkatan Kualitas Citra

Peningkatan kualitas citra atau *image enhancement* merupakan salah satu proses awal dalam pengolahan citra sebelum aplikasi pengenalan objek di dalam citra. Tujuan dari teknik peningkatan mutu citra adalah untuk melakukan pemrosesan terhadap citra agar hasilnya mempunyai kualitas relatif lebih baik dari citra awal untuk aplikasi tertentu. Perbaikan ini diperlukan karena citra yang dijadikan objek pembahasan mempunyai kualitas yang buruk, misal [8]:

- Citra mengalami derau pd saat transmisi
- Citra terlalu gelap atau terang
- Citra kurang tajam, kabur dan sebagainya

Operasi citra digital pada dasarnya adalah memanipulasi elemen-elemen matriks. Elemen matriks yang dimanipulasi dapat berupa:

- Elemen tunggal (sebuah *pixel*)
- Sekumpulan elemen yang berdekatan
- Keseluruhan elemen matriks

Cara paling mudah untuk melakukan peningkatan mutu pada domain spasial adalah dengan melakukan pemrosesan yang hanya melibatkan satu piksel saja (tidak menggunakan jendela ketetanggaan). Pengolahan menggunakan *histogram* juga termasuk dalam bagian *point processing*.

Operasi titik disebut juga operasi *pointwise*, terdiri dari:

- Pengaksesan *pixel* pada lokasi yang diberikan
- Memodifikasinya dengan operasi linier atau non linier
- Menempatkan nilai pixel baru pada lokasi yang bersesuaian di dalam citra yang baru

Secara matematis dapat dituliskan sebagai berikut:

$$f_B(x, y) = O_{titik} \{f_A(x, y)\} \quad (2.1)$$

Operasi ini dapat dibagi menjadi 3 macam [8]:

1. Berdasarkan intensitas
  - *Contrast stretching*
  - *Image negative*
  - *Histogram equalization*

- *Image Substration*
  - *Image Averaging*
2. Berdasarkan geometri
    - Posisi pixel diubah ke posisi yang baru, sedangkan intensitasnya tidak berubah.
    - Contoh : rotasi, translasi, penskalaan(dilatasi), distorsi geometri
  3. Gabungan keduanya
    - Operasi ini tidak hanya mengubah nilai intensitas *pixel*, tapi juga mengubah posisinya.
    - Misal: *image morphing* yaitu perubahan bentuk objek beserta intensitasnya.

### 2.2.2 *Region Of Interest*

*Region of Interest* (ROI) merupakan salah satu fitur yang tersedia dalam JPEG2000. ROI memungkinkan dilakukannya pengkodean secara berbeda pada area tertentu dari citra digital, sehingga mempunyai kualitas yang lebih baik dari area sekitarnya (*background*). Fitur ini menjadi sangat penting, bila terdapat bagian tertentu dari citra digital yang dirasakan lebih penting dari bagian yang lainnya.

Untuk melakukan ROI, perlu diidentifikasi koefisien-koefisien yang termasuk dalam ROI. Hal tersebut dimaksudkan untuk menghasilkan sebuah ROI *mask*, yang merupakan indikator dari koefisien yang termasuk ROI atau bukan. Umumnya yang digunakan sebagai penanda merupakan sebuah angka biner, yang dimiliki oleh piksel-piksel yang termasuk area ROI. Penanda tersebut berperan sebagai pemetaan area dari citra digital yang termasuk ROI. Pada proses DWT pun, *mask* tersebut akan berubah, mengikuti transformasi yang dilakukan pada citra digital. Sehingga pada akhirnya akan diperoleh informasi mengenai koefisien yang termasuk ROI.

### 2.3 *Discrete Fourier Transform (DFT) dan Fast Fourier Transform (FFT)*

*Discrete Fourier Transform* (DFT) digunakan untuk mengubah *frame-frame* dari domain spasial ke domain frekuensi. Transformasi diskrit merupakan

transformasi dimana input dan output bernilai diskrit yang digunakan untuk manipulasi di komputer. Rumus DFT untuk mengubah  $N$  data dari domain spasial ke domain frekuensi adalah sebagai berikut [9]:

$$F(u) = \frac{1}{N} \sum_{x=0}^{N-1} f(x) e^{-j2\pi ux/N} \quad (2.2)$$

dimana :

$F(u)$  : transformasi fourier

$f(x)$  : fungsi image dalam domain spasial

$N$  : jumlah data

Fast Fourier Transform (FFT) merupakan algoritma yang lebih cepat dari Discrete Fourier transform (DFT). FFT dapat mereduksi jumlah perhitungan untuk setiap  $N$  data yang sama pada perhitungan DFT sehingga perhitungan yang ada menjadi lebih cepat khususnya ketika nilai  $N$  yang digunakan cukup besar menggunakan persamaan:

$$F(u) = \frac{1}{2} \left[ \frac{1}{M} \sum_{x=0}^{M-1} f(2x) W_M^{ux} + \frac{1}{M} \sum_{x=0}^{M-1} f(2x+1) W_M^{ux} W_{2M}^u \right] \quad (2.3)$$

$W_M^{ux}$  dapat dituliskan sebagai

$$W_M^{ux} = e^{-j2ux\pi/M} \quad (2.4)$$

$W_{2M}^u$  dapat dituliskan sebagai

$$W_{2M}^u = e^{-j\pi u/M} \quad (2.5)$$

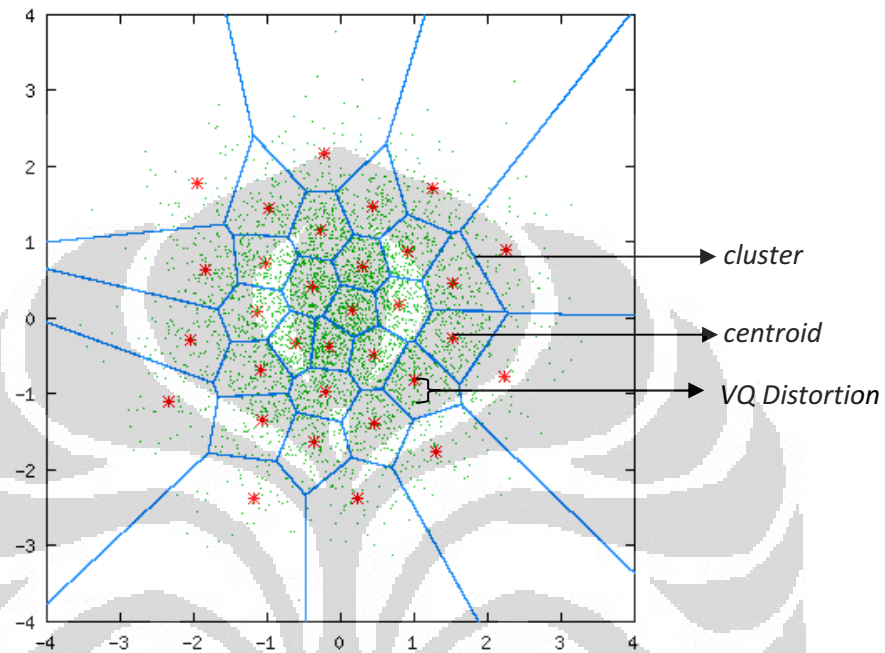
Dimana :  $M = \frac{1}{2}N$

Baik DFT maupun FFT akan menghasilkan spektrum frekuensi berupa kumpulan titik-titik dimana masing-masing titik terdiri dari komponen *real* (fungsi *Cosinus*) dan komponen imajiner (fungsi *sinusoidal*) disebabkan adanya bilangan eksponensial [9].

## 2.4 Vektor Kuantisasi

*Vector quantization* (VQ) adalah proses pemetaan vektor data yang merupakan titik-titik hasil dari proses FFT ke dalam sebuah wilayah yang

terbatas dalam grafik dua dimensi (X-Y) dimana sumbu X merupakan komponen *real* dari masing-masing titik dan sumbu Y merupakan komponen imajiner dari masing-masing titik. Pemetaan titik-titik tersebut ditunjukkan oleh Gambar 2.8 [9].



Gambar 2.8 Pemetaan pada proses vektor kuantisasi [9]

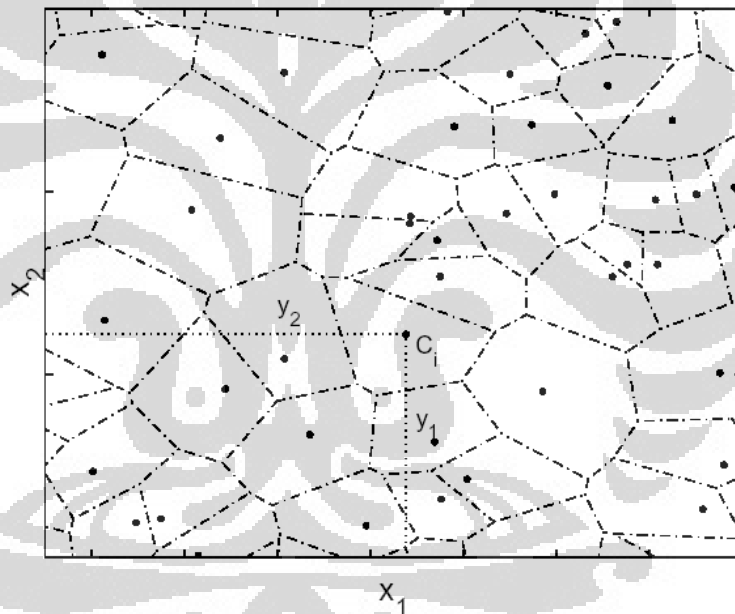
Tujuan dari proses vektor kuantisasi adalah untuk menyederhanakan panjang data masukan agar proses selanjutnya menjadi lebih mudah. Tiap komponen dari spektrum frekuensi yang merupakan hasil FFT memiliki beberapa titik yang masing-masing memiliki komponen real dan imajiner. Kumpulan dari titik-titik yang memiliki jarak berdekatan membentuk suatu *cluster* dan setiap *cluster* yang terbentuk dapat direpresentasikan dengan *centroid* yang disebut *codeword*. Koleksi dari semua *codeword* disebut *codebook*. Jarak antara satu titik dengan titik lain dalam sebuah *cluster* disebut *VQ Distortion*. Semakin kecil *VQ Distortion* nya, maka *cluster* yang terbentuk menjadi lebih akurat.

Luas daerah *cluster* ditentukan oleh ukuran *codebook* dimana semakin besar ukuran *codebook* nya, maka luas daerah masing-masing *cluster* menjadi lebih kecil dan jumlah *cluster* yang terbentuk menjadi lebih banyak disertai nilai

*VQ distortion* yang semakin kecil sehingga *codeword* yang terbentuk akan semakin mewakili informasi dari masukannya [9].

VQ diinterpretasikan dengan skalar kuantisasi. Sinyal input akan dikuantisasi menjadi *codebook*  $C = \{y_k \mid k = 1, \dots, N\}$ . Hampir keseluruhan sinyal input merupakan sebuah vektor yang harus dikodekan kedalam ruang multidimensi. Gambar 2.9 merupakan contoh ruang dua dimensi dari *codebook*. Gambar 2.9 menunjukkan partisi dari ruang multidimensi sebuah input vektor yang dibagi menjadi  $L$  wilayah yang dapat dinotasikan sebagai  $P = \{C_1, C_2, \dots, C_L\}$  dimana :

$$C_i = \{x \mid d(x, y_i) \leq d(x, y_j), j \neq i\} \quad (2.6)$$



Gambar 2.9 *Codebook* dari suatu input vektor [10]

Dalam pembentukan *codebook* untuk iterasi guna memperbaiki VQ digunakan *General Lloyd Algorithm* (GLA) atau yang sering disebut dengan *LBG Algorithm*. *LBG VQ algorithm* tersebut dapat diimplementasikan dengan prosedur rekursif sebagai berikut:

1. Mendesign suatu vektor *codebook* yang merupakan *centroid* dari keseluruhan vektor *training*.
2. Menjadikan ukuran *codebook* dua kali lipat dengan membagi masing-masing *current codebook*  $C_n$  menurut aturan

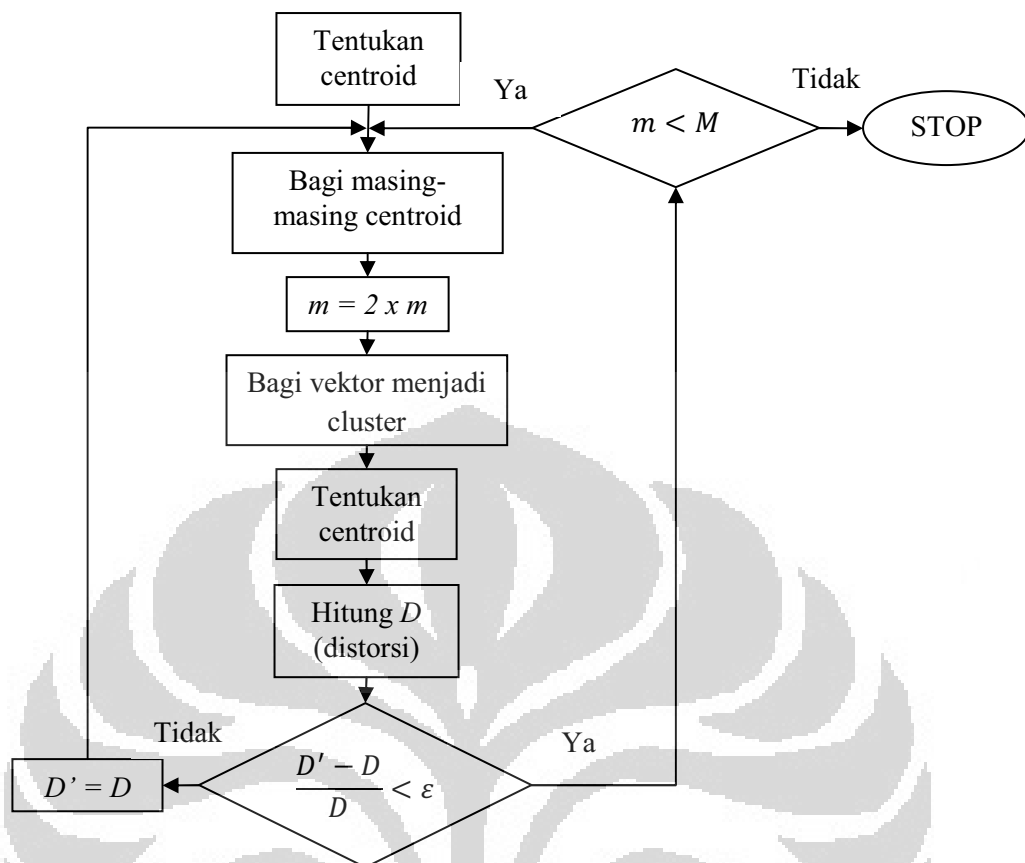
$$C_n^+ = C_n(1 + \varepsilon) \quad (2.7)$$

$$C_n^- = C_n(1 - \varepsilon) \quad (2.8)$$

dimana  $n$  bervariasi dari 1 sampai dengan *current size codebook* dan  $\varepsilon$  adalah parameter *splitting* ( $\varepsilon = 0.01$ ).

3. *Nearest Neighbour Search*, yaitu mengelompokkan *training vector* yang mengumpul pada blok tertentu. Selanjutnya menentukan *codeword* dalam *current codebook* yang terdekat dan memberikan tanda vektor yaitu *cell* yang diasosiasikan dengan *codeword* yang terdekat.
4. *Centroid update*, yaitu menentukan *centroid* baru yang merupakan *codeword* yang baru pada masing-masing *cell* dengan menggunakan *training vector* pada *cell* tersebut.
5. Iterasi 1  
mengulang step 3 dan 4 sampai jarak rata-rata dibawah present *threshold*.
6. Iterasi 2  
mengulang step 2, 3, 4 sampai *codebook* berukuran  $M$ .

Gambar 2.10 menunjukkan diagram alur, langkah detail dari LBG *algorithm*. *Cluster* vektor menerapkan prosedur *nearest neighbour search* yang mana menandai masing-masing *training vektor* ke sebuah *cluster* yang diasosiasikan dengan *codeword* terdekat. ‘*Find centroid*’ merupakan prosedur meng-*update centroid* untuk menentukan *codeword* yang baru. ‘*Compute D (distortion)*’ berarti menjumlah jarak semua *training vektor* dalam *nearest neighbour search* terhadap *centroid* untuk menentukan besarnya *distortion* [10].



Gambar 2.10 Diagram alur dari LBG *algorithm* [10]

## 2.5 *Hidden Markov Model*

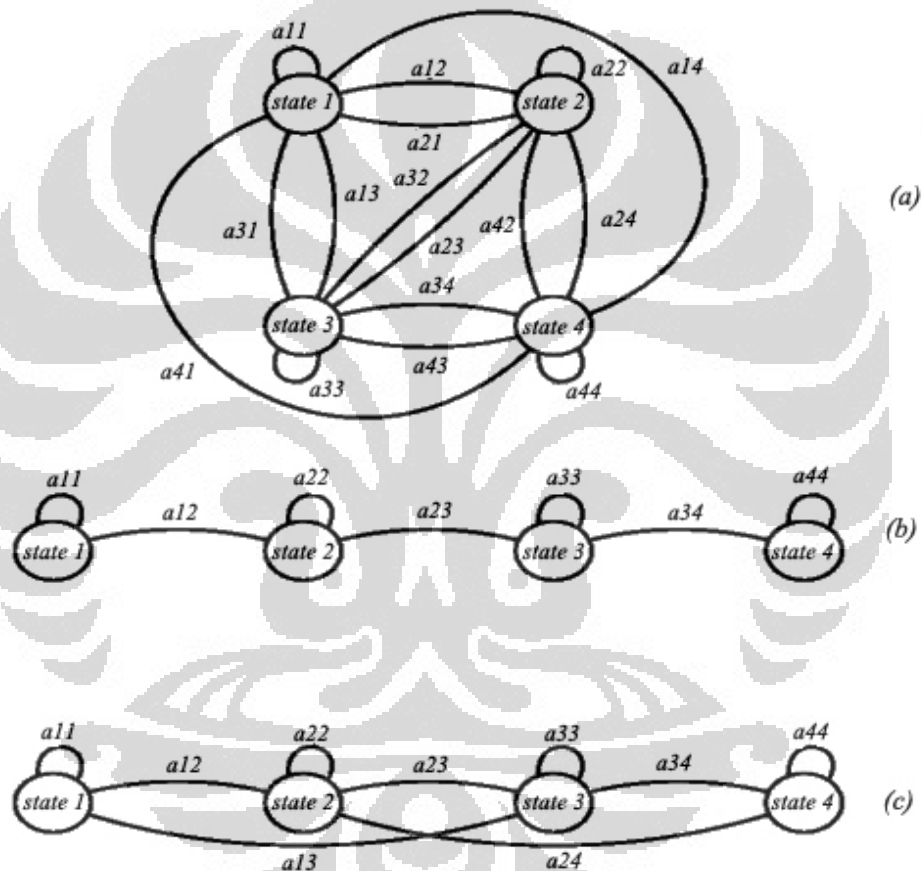
*Hidden Markov models* (HMM) merupakan model dengan pendekatan statistik yang digunakan dalam berbagai implementasi pengenalan gambar dan suara. *Time variance* dalam suatu bahasa dimodelkan sebagai proses *Markov* dengan *discrete state*. Masing-masing *state* menghasilkan observasi menurut karakteristik distribusi probabilitas dari *state* tersebut. Observasi dapat mengambil pada harga diskrit atau kontinyu. Observasi merepresentasikan durasi waktu yang tetap yang disebut *frame*. Pada model ini *state* tidak secara langsung dapat diamati, hal ini yang menjadikan model ini disebut sebagai *hidden Markov model* [10].

### 2.5.1 Tipe-tipe *Hidden Markov Model*

Salah satu cara untuk mengklasifikasikan HMM adalah dengan melihat bentuk matrix transisinya (A) dari rantai markov. Bentuk yang umum adalah bentuk *ergodic* atau bentuk yang setiap *state* saling terhubung (*fully connected*

HMM). Seperti terlihat pada Gambar 2.11,a untuk  $N = 4$  state model, model ini mempunyai nilai  $a_{ij}$  antara 0 dan 1. Nilai 0 dan 1 tidak termasuk, jika tidak maka bentuk model ergodic tidak akan terwujud. Matriks transisi untuk ergodic model dapat dimisalkan seperti dibawah ini.

$$A = \begin{bmatrix} a_{11} & a_{12} & a_{13} & a_{14} \\ a_{21} & a_{22} & a_{23} & a_{24} \\ a_{31} & a_{32} & a_{33} & a_{34} \\ a_{41} & a_{42} & a_{43} & a_{44} \end{bmatrix} \quad (2.9)$$



Gambar 2.11 HMM dengan 4 state[10]

Untuk pengidentifikasian citra yang tepat digunakan adalah model *left-right* HMM atau biasa disebut Bakis Model. Seperti terlihat pada Gambar 2.11b,c [10].

## 2.5.2 Elemen- elemen Hidden Markov Model

Elemen-elemen *Hidden Markov Model* meliputi [10] :

1.  $N$ , jumlah *state* dalam model. Umumnya *state* dapat diinterkoneksi, sehingga setiap *state* dapat dicapai dari *state* yang lain. *State* individual dinotasikan sebagai  $S = \{S_1, S_2, \dots, S_N\}$  dan *state* pada waktu  $t$  adalah  $q_t$ .
2.  $M$ , jumlah observasi simbol yang berbeda tiap *state*. Simbol-simbol tersebut dapat dinotasikan dalam  $V = \{v_1, v_2, \dots, v_M\}$ .

3.  $A = \{a_{ij}\}$ , distribusi probabilitas transisi *state*, dimana

$$a_{ij} = P[q_{t+1} = S_j | q_t = S_i], 1 \leq i, j \leq N \quad (2.10)$$

4.  $B = \{b_j(k)\}$ , distribusi probabilitas simbol observasi pada *state*  $j$ , dimana

$$b_j(k) = P[v_k \text{ pada } t | q_t = S_j], 1 \leq j \leq N, 1 \leq k \leq M \quad (2.11)$$

5.  $\pi = \{\pi_i\}$ , distribusi *state* *initial*, dimana

$$\pi_i = P[q_1 = S_i], 1 \leq i \leq N \quad (2.12)$$

*Hidden Markov Model* dapat dituliskan sebagai  $\lambda = (A, B, \pi)$ . Dengan diketahuinya  $N, M, A, B$ , dan  $\pi$ , *Hidden Markov Model* dapat menghasilkan urutan observasi  $O = O_1 O_2 \dots O_T$  dimana masing-masing observasi  $O_t$  adalah simbol dari  $V$ , dan  $T$  adalah jumlah urutan observasi. *Hidden Markov Model* dapat dituliskan sebagai  $\lambda = (A, B, \pi)$ .

Perhitungan yang efisien dari  $P(O|\lambda)$ , yaitu probabilitas urutan observasi apabila diberikan urutan observasi  $O = O_1 O_2 \dots O_T$  dan sebuah model  $\lambda = (A, B, \pi)$ .

Misalkan diberikan urutan *state*

$$Q = q_1 q_2 \dots q_T \quad (2.13)$$

dimana  $q_1$  adalah inisial *state*. Dengan demikian probabilitas urutan observasi  $O$  untuk urutan *state* pada persamaan (2.13) adalah

$$P(O | Q, \lambda) = \prod_{t=1}^T P(O_t | q_t, \lambda) \quad (2.14)$$

sehingga didapatkan

$$P(O | Q, \lambda) = b_{q_1}(O_1) \cdot b_{q_2}(O_2) \dots b_{q_T}(O_T) \quad (2.15)$$

Probabilitas dari urutan *state*  $Q$  dapat dituliskan

$$P(Q | \lambda) = \pi_{q_1} a_{q_1 q_2} a_{q_2 q_3} \dots a_{q_{T-1} q_T} \quad (2.16)$$

Probabilitas gabungan dari  $O$  dan  $Q$  yaitu probabilitas dari  $O$  dan  $Q$  yang terjadi secara bersamaan. Probabilitas gabungan ini dapat dituliskan

$$P(O, Q | \lambda) = P(O | Q, \lambda)P(Q | \lambda) \quad (2.17)$$

Probabilitas observasi  $O$  yang diberikan, diperoleh dengan menjumlahkan seluruh probabilitas gabungan terhadap semua kemungkinan urutan *state*  $q$ , yaitu

$$P(O | \lambda) = \sum_{all Q} P(O | Q, \lambda)P(Q | \lambda) \quad (2.18)$$

$$= \sum_{q_1 q_2 \dots q_T} \pi_{q_1} b_{q_1}(O_1) a_{q_1 q_2} b_{q_2}(O_2) \dots a_{q_{T-1} q_T} b_{q_T}(O_T) \quad (2.19)$$

Untuk menghitung persamaan (2.19) dengan menggunakan prosedur *forward*. Variabel *forward*  $\alpha_1(i)$  didefinisikan sebagai probabilitas sebagian urutan observasi  $O_1 O_2 \dots O_t$  (hingga waktu  $t$ ) dan *state*  $S_i$  pada waktu  $t$ , dari model  $\lambda$  yang diberikan.

$$\alpha_t(i) = P(O_1 O_2 \dots O_t, q_t = S_i | \lambda) \quad (2.20)$$

untuk menyelesaikan  $\alpha_1(i)$  adalah sebagai berikut :

a. Inisialisasi

$$\alpha_1(i) = \pi_i b_i(O_1) \quad 1 \leq i \leq N \quad (2.21)$$

b. Induksi

$$\alpha_{t+1}(j) = \left[ \sum_{i=1}^N \alpha_t(i) a_{ij} \right] b_j(O_{t+1}) \quad \begin{array}{l} 1 \leq t \leq T-1 \\ 1 \leq j \leq N \end{array} \quad (2.22)$$

c. Terminasi

$$P(O | \lambda) = \sum_{i=1}^N \alpha_T(i) \quad (2.23)$$

Dari nilai probabilitas yang telah didapatkan, dapat dihitung nilai *Log of Probability*-nya (LoP) :

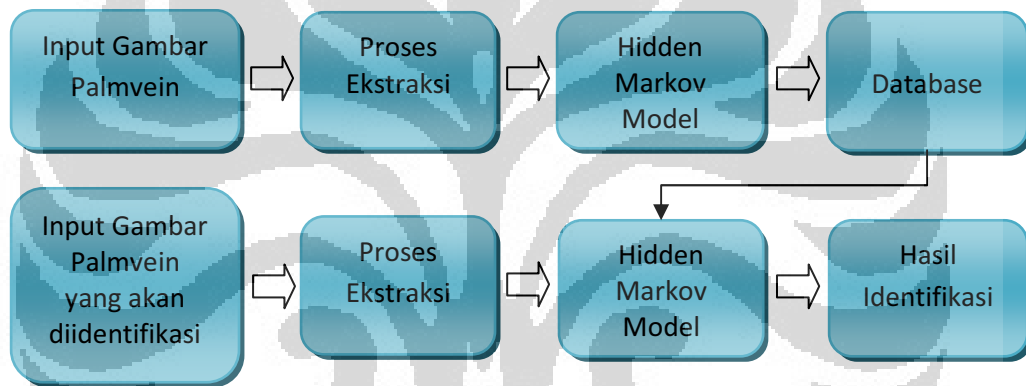
$$LoP = \text{Log } P(O | \lambda) \quad (2.24)$$

## BAB 3 PERANCANGAN SISTEM IDENTIFIKASI PEMBULUH DARAH TELAPAK TANGAN

### 3.1 Prinsip Kerja Sistem

Dalam perancangan perangkat lunak sistem identifikasi biometrik pembuluh darah telapak tangan ini terdapat dua proses utama, pertama yaitu proses *training* atau pembuatan *database*, kedua yaitu proses identifikasi. Dan metode yang digunakan adalah *Hidden Markov Model*.

Secara garis besar, prinsip kerja sistem dapat dilihat pada blok diagram berikut ini.



Gambar 3.1 Blok Diagram Sistem

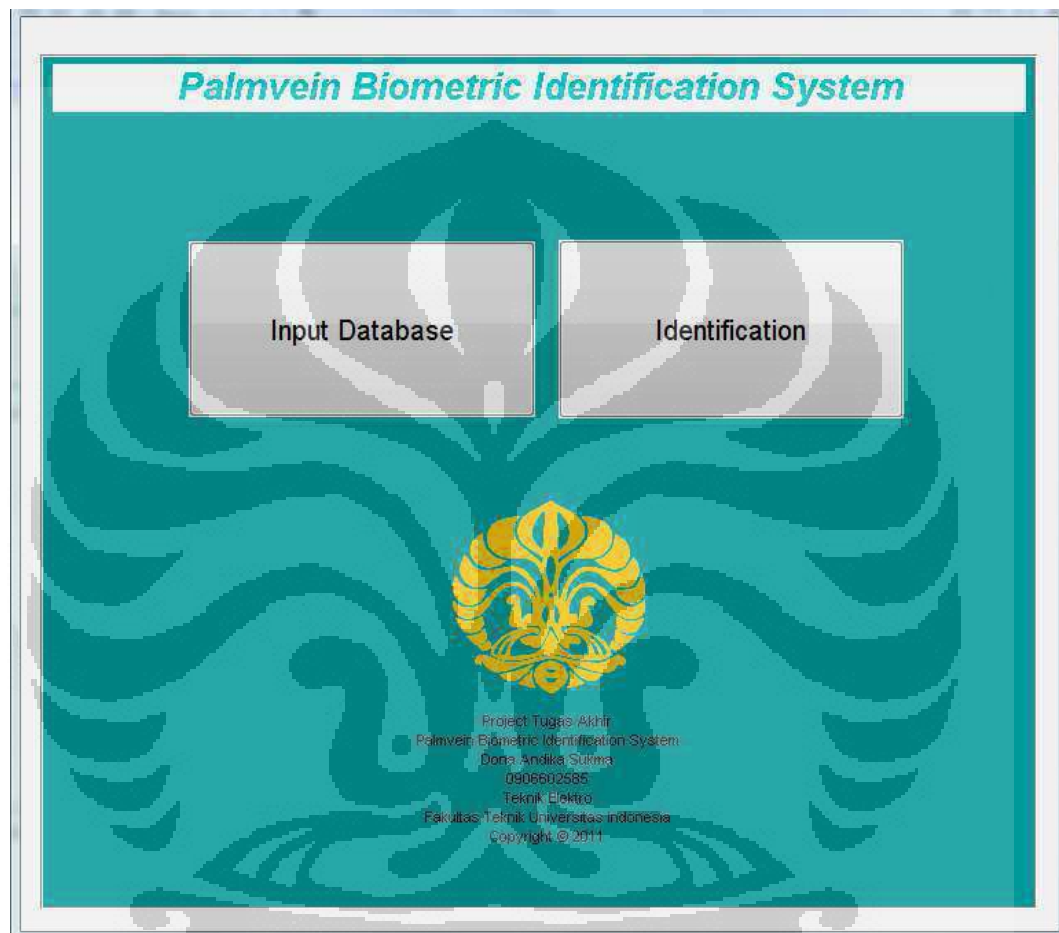
Pada bagian atas dari blok diagram merupakan proses *training* untuk mendapatkan parameter HMM dari gambar yang sebelumnya sudah diekstraksi guna mendapatkan pola pembuluh darah dengan jelas. Dan kemudian parameter HMM tersebut disimpan kedalam *database*. Pada proses identifikasi, gambar yang sudah diekstraksi kemudian dicari *Log of Probability* (LoP) HMM-nya dengan menggunakan parameter HMM pada setiap data dalam *database*. Dari hasil LoP akan didapatkan hasil identifikasi yang sesuai dengan gambar yang diinputkan.

Perangkat lunak ini dirancang dengan menggunakan komputer dengan spesifikasi sebagai berikut :

- Sistem Operasi : *Windows Vista Home Premium* (32-bit)
- Prosesor : Intel Core 2 Duo T5550 1,83GHz

VGA Card : Mobile Intel(R) 965 Express Chipset Family  
 Memory : 3GB

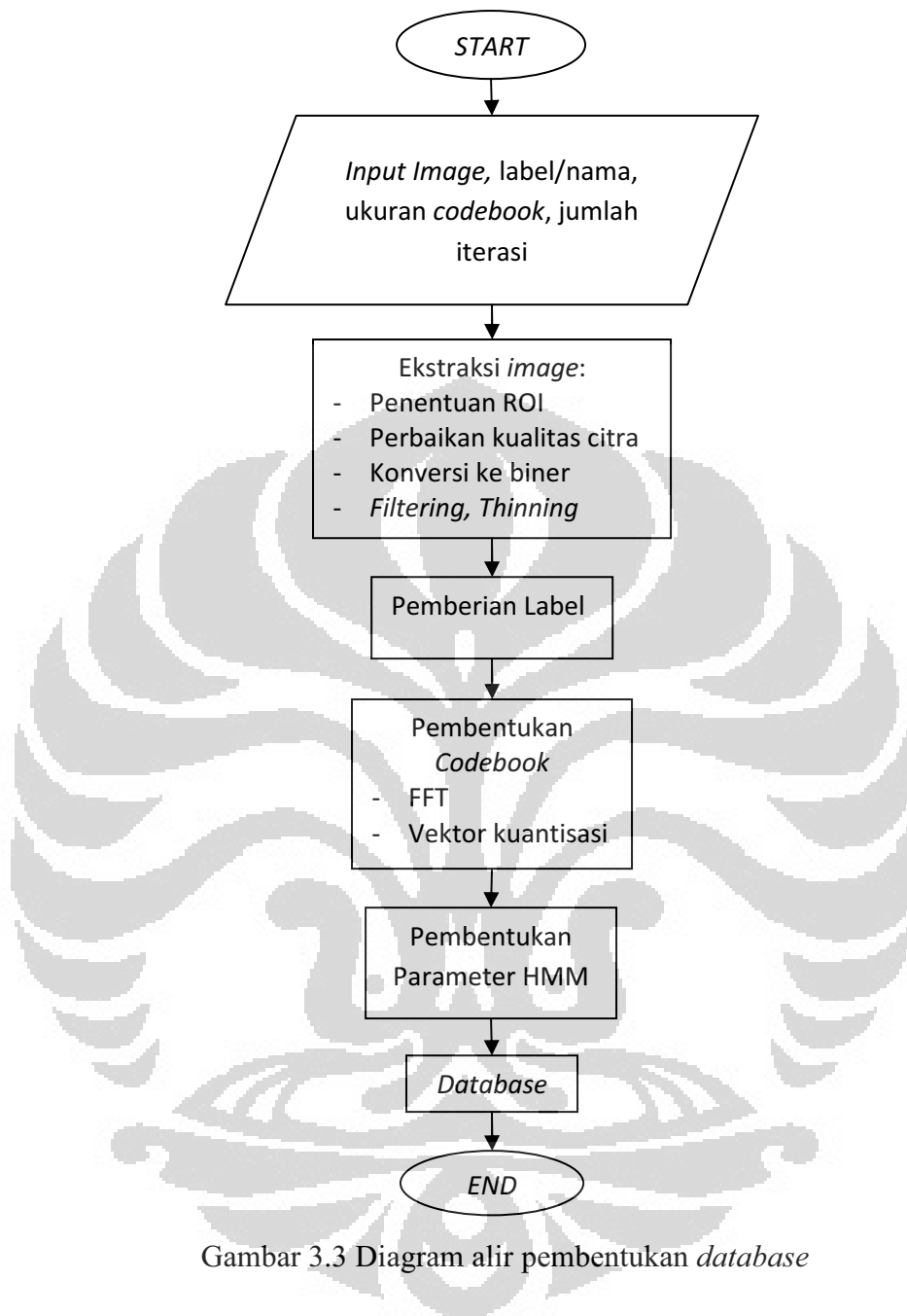
Perangkat lunak dilengkapi dengan GUI untuk mempermudah *user* dalam penggunaannya. Rancangan GUI untuk halaman utama sistem dapat dilihat pada Gambar 3.2.



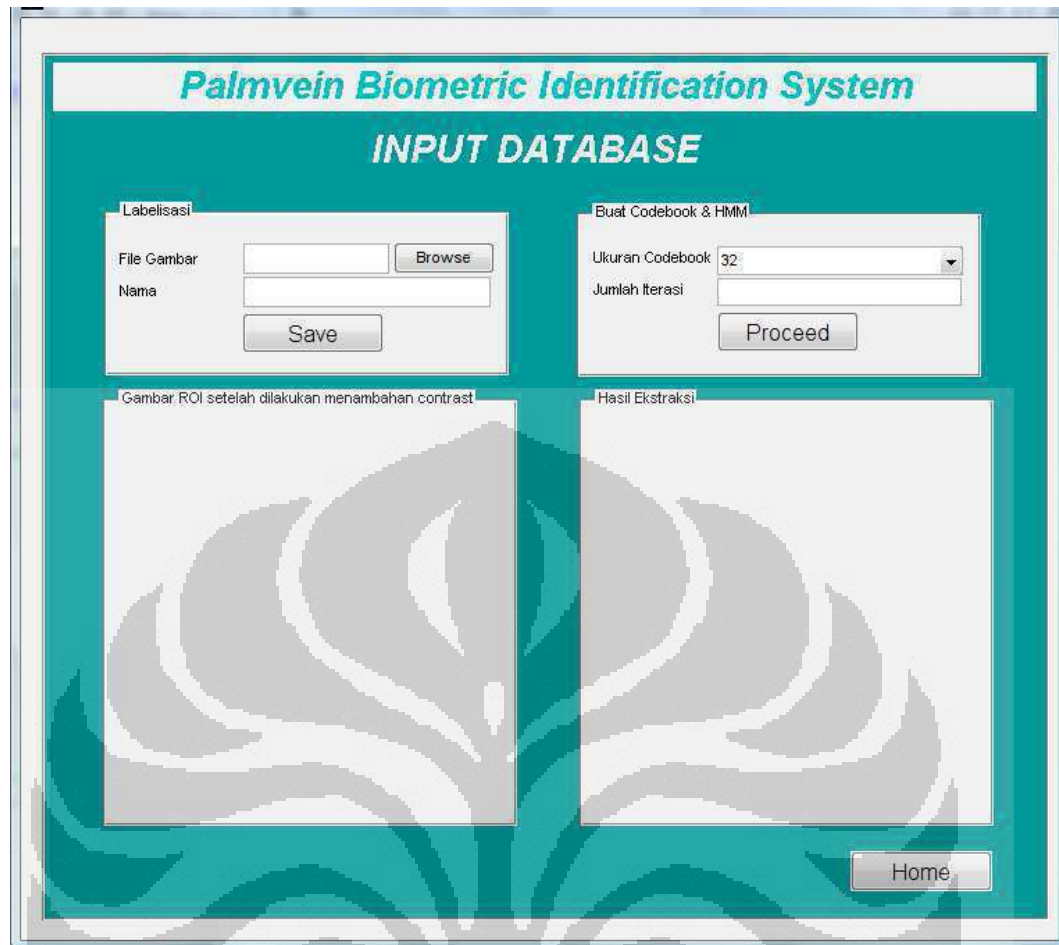
Gambar 3.2 Rancangan GUI untuk halaman utama

### 3.2 Pembentukan *Database*

Pada proses pembentukan *database* ini terdapat empat tahapan, yakni tahap ekstraksi, pelabelan, pembuatan *codebook*, dan pembentukan *Hidden Markov Model* (HMM). Secara garis besar digambarkan pada diagram alir berikut ini.



Gambar 3.3 Diagram alir pembentukan *database*



Gambar 3.4 Tampilan GUI pembentukan *database*

### 3.2.1 Tahap Ekstraksi Fitur Gambar

Algoritma ekstraksi fitur dijelaskan dalam langkah-langkah sebagai berikut :

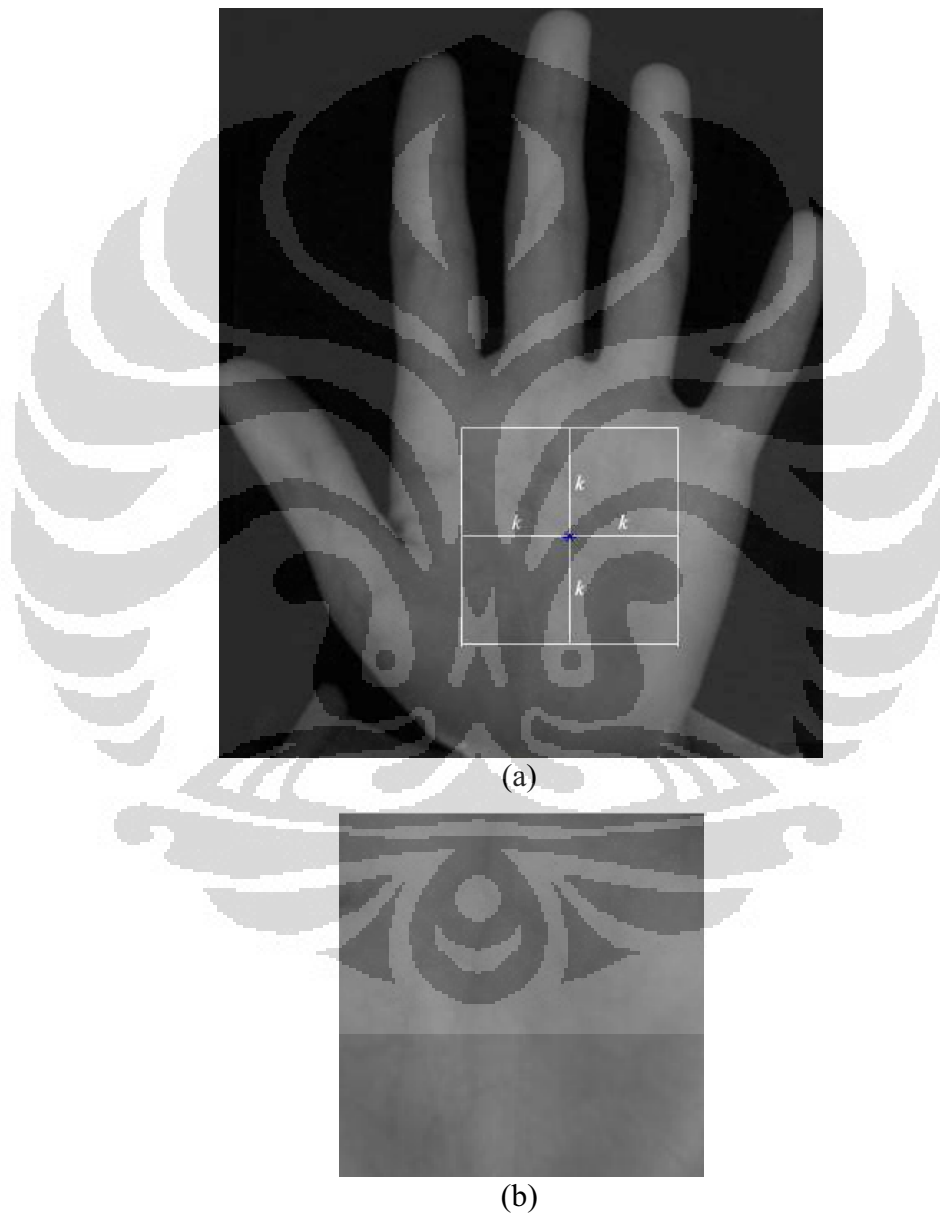
Mulai

*Input* gambar;  
 Tentukan daerah ROI;  
 Tingkatkan kontras pada gambar;  
 Ubah gambar ke biner;  
*Filter* gambar;  
*Thinning* gambar;

Selesai

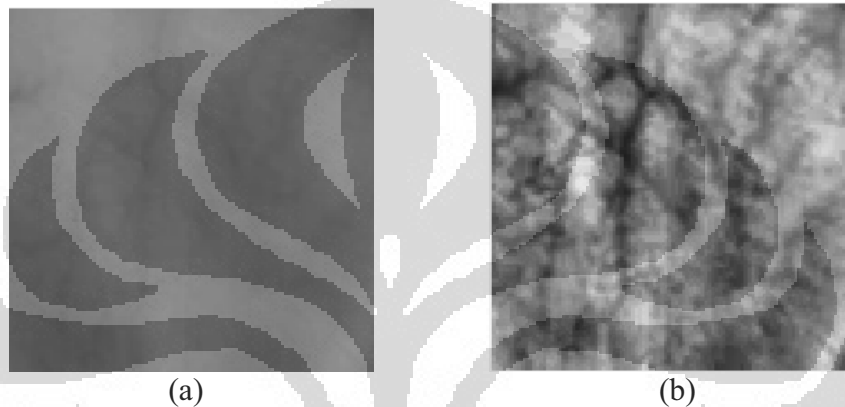
Langkah pertama dalam ekstraksi adalah menentukan *Region Of Interest* (ROI) dari telapak tangan yang akan ekstraksi. Pada penelitian ini, ROI ditentukan

berdasarkan titik tengah dari telapak tangan, yaitu dengan menentukan titik tengah dari suatu objek pada gambar. Dari titik tengah tersebut dibuat dua garis sejajar yang berjarak sebesar  $k$  ke arah atas dan bawah dari titik tengah tersebut. Kedua garis itu merupakan batas atas dan bawah dari ROI. Dan dua garis sejajar yang berjarak sebesar  $k$  ke samping kiri dan kanan. Garis tersebut akan menjadi batas kiri dan kanan dari ROI.



Gambar 3.5 Menentukan ROI (a) Penentuan ROI dari telapak tangan, (b) Hasil *cropping* ROI

Setelah menentukan ROI, langkah selanjutnya adalah melakukan perbaikan kualitas citra guna memperjelas pola pembuluh darah pada gambar. Kontras pada gambar ditingkatkan dengan mengubah nilainya menggunakan metode pemerataan histogram adaptif kontras terbatas. Metode ini bekerja pada daerah kecil pada gambar yang disebut *tiles*, bukan pada seluruh bagian gambar. Setiap kontras *tiles* ditingkatkan, sehingga histogram dari output kira-kira cocok dengan histogram yang ditentukan oleh parameter distribusi.



Gambar 3.6 Peningkatan kualitas citra, (a) Gambar ROI *original*, (b) Gambar yang sudah mengalami peningkatan kontras

Gambar yang sudah ditingkatkan kontrasnya kemudian diubah menjadi gambar biner yang bernilai 1 dan 0.

$$B(x,y) = \begin{cases} 255 & \text{if } I(x,y) > T \\ 0 & \text{otherwise} \end{cases} \quad (3.1)$$

$I(x,y)$  adalah gambar *grayscale* dan  $B(x,y)$  adalah gambar yang sudah diubah ke dalam bentuk biner. Sedangkan  $T$  adalah nilai *threshold*.

Gambar biner tersebut kemudian difilter untuk mengurangi *noise* dan menghilangkan daerah yang besarnya kurang dari *range* yang telah ditentukan. Metode *filter* ini bekerja pada gambar biner dengan menghapus atau menghilangkan objek-objek dari gambar yang luasnya lebih kecil dari luas pixel yang telah ditentukan sebelumnya. Sehingga yang tersisa hanyalah objek yang besar saja.

Langkah selanjutnya yaitu melakukan *thinning* atau penipisan garis. Algoritma yang digunakan adalah [11]:

- Membagi gambar menjadi dua sub bidang berbeda dalam pola kotak-kotak.
- Pada sub iterasi pertama, hapus  $p$  pixel dari sub bidang pertama jika dan hanya jika kondisi  $G1$ ,  $G2$  dan  $G3$  terpenuhi.
- Pada sub iterasi kedua, hapus  $p$  pixel dari sub bidang kedua jika dan hanya jika kondisi  $G1$ ,  $G2$  dan  $G3'$  terpenuhi.

Kondisi  $G1$  :

$$X_H(P) = 1 \quad (3.2)$$

dimana

$$X_H(P) = \sum_{i=1}^4 b_i \quad (3.3)$$

$$b_i = \begin{cases} 1 & \text{if } x_{2i-1} = 0 \text{ and } (x_{2i} = 1 \text{ or } x_{2i+1} = 1) \\ 0 & \text{otherwise} \end{cases} \quad (3.4)$$

$x_1, x_2, \dots, x_8$  adalah nilai dari delapan *neighbor*  $p$ , dimulai dari *neighbor* timur dan diurutkan searah jarum jam.

Kondisi  $G2$  :

$$2 \leq \min \{n_1(P), n_2(P)\} \leq 3 \quad (3.5)$$

dimana

$$n_1(P) = \sum_{k=1}^4 x_{2k-1} \vee x_{2k} \quad (3.6)$$

$$n_2(P) = \sum_{k=1}^4 x_{2k} \vee x_{2k+1} \quad (3.7)$$

Kondisi  $G3$  :

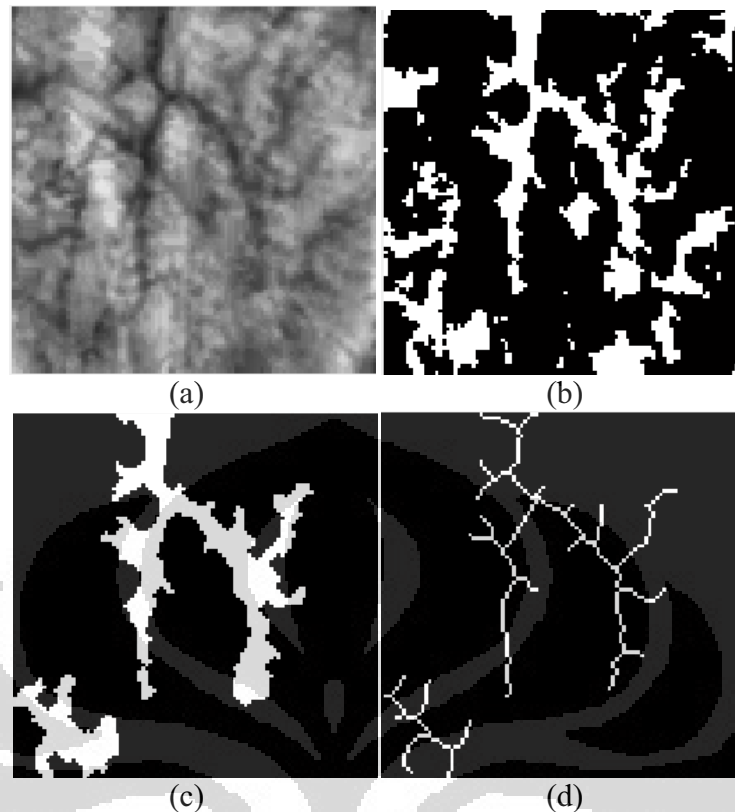
$$(x_2 \vee x_3 \vee \bar{x}_8) \wedge x_1 = 0 \quad (3.8)$$

Kondisi  $G3'$  :

$$(x_6 \vee x_7 \vee \bar{x}_4) \wedge x_5 = 0 \quad (3.9)$$

Kedua sub iterasi bersama-sama membentuk satu iterasi dari algoritma *thinning*. Ketika ditentukan jumlah iterasi yang tidak terbatas ( $n=\inf$ ), iterasi diulang sampai gambar berhenti berubah.

Hasil *thinning* inilah yang merupakan hasil ekstraksi gambar, dimana sudah sangat jelas mempresentasikan informasi dari pola pembuluh darah telapak tangan. Proses dari ekstraksi tersebut dapat dilihat pada Gambar 3.7.



Gambar 3.7 Proses ekstraksi, (a) Target gambar (b) Konversi gambar ke biner (c) Gambar biner yang sudah difilter (d) Gambar hasil *thinning*

### 3.2.2 Pelabelan

Algoritma program untuk proses pelabelan adalah sebagai berikut :

Mulai

Gambar hasil ekstraksi;

Input nama;

Simpan matriks gambar hasil ekstraksi dan  
nama pada *database*;

Selesai

Tahap pelabelan merupakan tahap dimana dilakukan pemberian nama bagi setiap *input* gambar yang akan dimasukkan ke dalam *database*, dengan kata lain pemberian identitas bagi pemilik pola pembuluh darah yang diinputkan. Nama tersebut diinputkan pada GUI, dan nama inilah yang nantinya akan menjadi keluaran pada saat proses identifikasi. Pada tahap pelabelan ini, gambar yang sebelumnya sudah diekstraksi akan diubah menjadi matriks  $M \times N$  (ukuran matrik

$M \times N$  akan sama dengan ukuran gambar yang dimasukkan). Nama dan matriks ini kemudian disimpan kedalam *database*.

### 3.2.3 Pembuatan *Codebook*

Algoritma program untuk proses pembuatan *codebook* adalah :

Mulai

```

Input besar codebook dan iterasi;
Panggil matriks gambar yang sebelumnya sudah
disimpan pada database;
Ubah matriks gambar mejadi matriks kolom
Bagi matriks menjadi frame-frame;
Hitung FFT untuk setiap frame sehingga
didapatkan sample point;
Pengelompokkan sample point menjadi Cluster-
cluster sebanyak besar codebook yang
diinputkan;
Hitung centroid tiap cluster;
Codebook = matriks dari gabungan centroid;
Simpan codebook dalam file database;

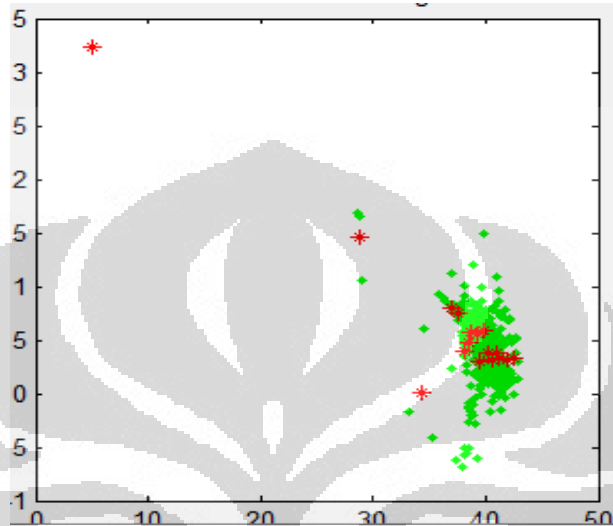
```

Selesai

Setelah pelabelan dilakukan, tahap selanjutnya yaitu proses pembuatan *codebook*. Data matriks dari hasil pelabelan akan menjadi input pada tahap ini. Matrik diubah menjadi matrik kolom sehingga membentuk sinyal diskrit dan kemudian dibentuk *frame-frame* untuk memecah sinyal menjadi bagian-bagian kecil. Masing-masing *frame* ini akan diubah kedalam bentuk domain frekuensi yang terdiri dari nilai *real* dan imajiner dengan menggunakan *fast fourier transform* (FFT). Data hasil FFT merupakan *codeword* yang kemudian akan dilakukan proses vektor kuantisasi guna mencari *cluster* dan *centroid* pada masing-masing *cluster*. Kumpulan *centroid* inilah yang disebut dengan *codebook*.

*Codebook* yang sudah didapatkan akan disimpan ke dalam *database*. Penyimpanan *codebook* pada *database* akan dipisahkan antara besar *codebook* dan jumlah iterasi yang berbeda. Hal ini bertujuan untuk memdahkan dalam

perbandingan antara ukuran *codebook* dan jumlah iterasi yang berbeda. Jumlah iterasi merupakan banyaknya proses pengulangan yang dilakukan dalam menentukan *centroid* guna mendapatkan *centroid* yang cukup presisi. Semakin besar iterasinya, maka akan semakin presisi letak *centroid* yang didapat, namun proses pembuatan *codebook* juga akan semakin lama.



Gambar 3.8 Hasil tampilan *codebook*

Jumlah *codebook* yang tersedia dalam program ini adalah 32, 64, 128, 256, 512, dan 1024. Dimana ke enam ukuran *codebook* ini akan dijadikan bahan perbandingan pada skripsi ini untuk dilihat berapa nilai *codebook* yang sesuai pada proses identifikasi pola pembuluh darah tangan.

### 3.2.4 Pembentukan parameter HMM

Algoritma program untuk pembentukan parameter HMM adalah sebagai berikut :

Mulai

Panggil *codebook* yang sudah dibuat;

Panggil matriks gambar pada label;

Pelatihan dengan memasukan data gambar sampai nilai matriks tidak berubah;

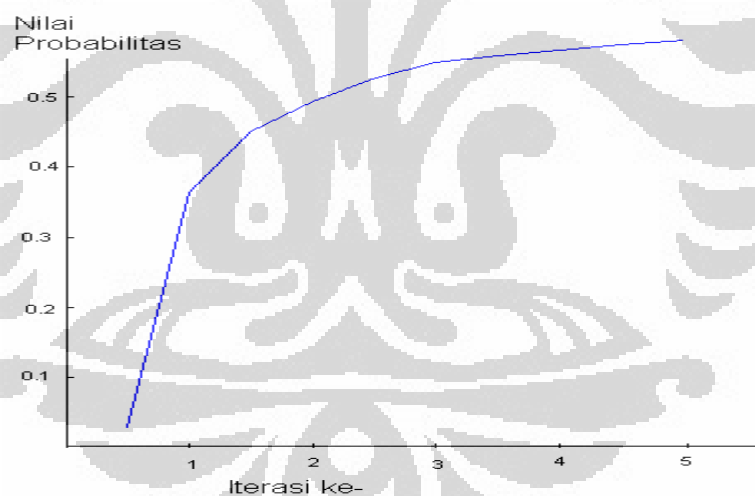
Hitung probabilitas A, B untuk setiap gambar;

Simpan hasil dalam file *database*;

Selesai

Pada proses pembentukan parameter HMM terdapat beberapa inputan, antara lain : ukuran *codebook*, jumlah iterasi, label dan *codebook* yang sesuai dengan ukuran *codebook* dan jumlah iterasi dimana sudah dibuat pada tahap sebelumnya. Hasil keluaran dari tahap ini adalah parameter HMM :  $A$ ,  $B$ , dan  $\pi$ , dari setiap label yang telah dibuat. Parameter tersebut kemudian disimpan ke dalam *file database* dengan format penulisan nama *file* berdasarkan ukuran *codebook* dan jumlah iterasi yang telah ditentukan, sama halnya dengan tahap pembuatan *database codebook* yang sudah dijelaskan sebelumnya.

Pada proses pembentukan parameter HMM, jumlah iterasi merupakan penentu banyaknya pengulangan yang dilakukan dalam mengolah parameter HMM guna mendapatkan probabilitas yang paling baik. Semakin besar jumlah iterasinya, maka akan semakin baik probabilitas yang didapat. Gambar 3.9 merupakan tampilan grafik probabilitas dalam pembuatan HMM.



Gambar 3.9 Probabilitas satu label *palmvein* dengan 5 iterasi

### 3.3 Proses Identifikasi

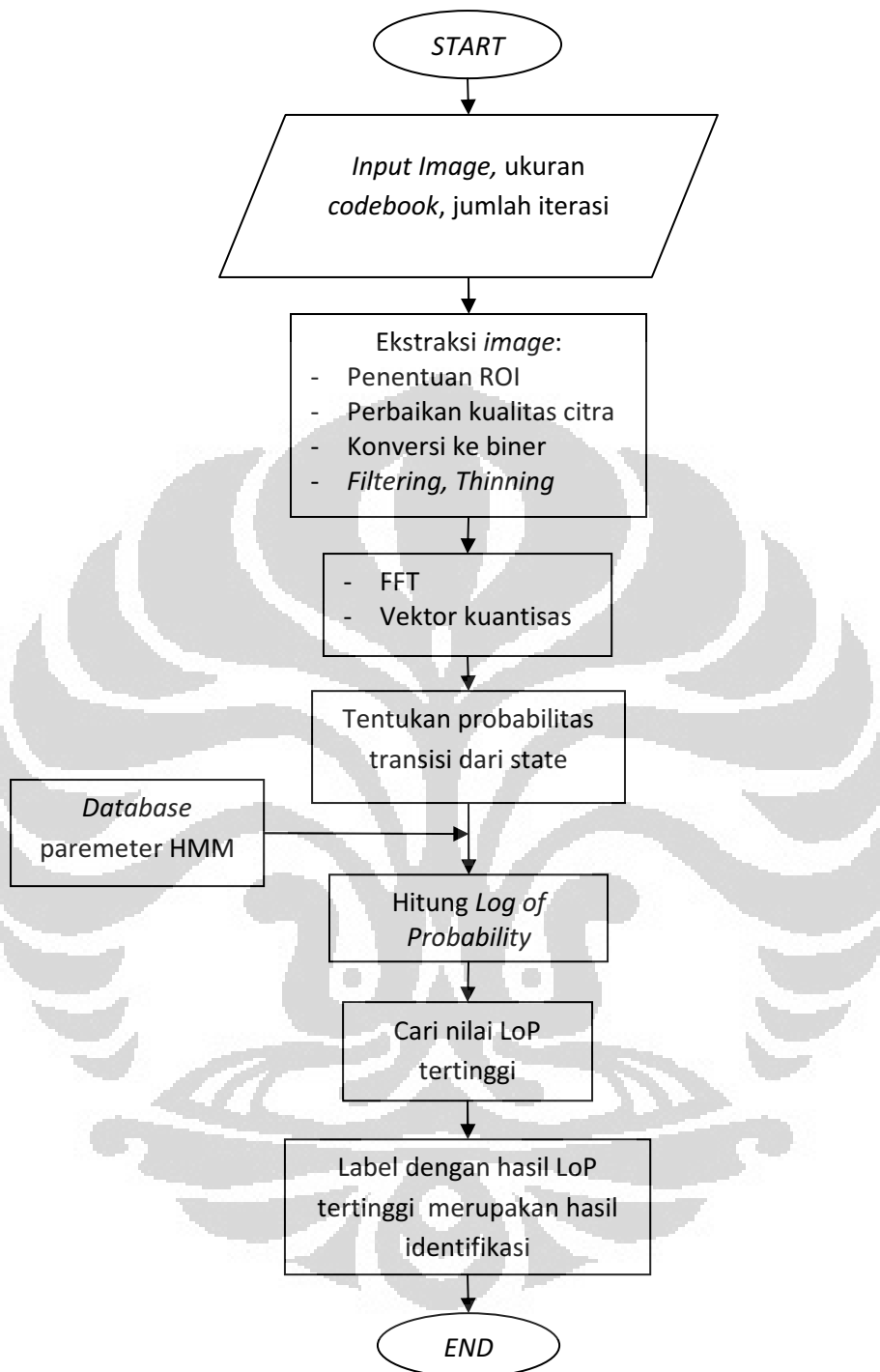
Algoritma program dari proses identifikasi adalah sebagai berikut :

Mulai

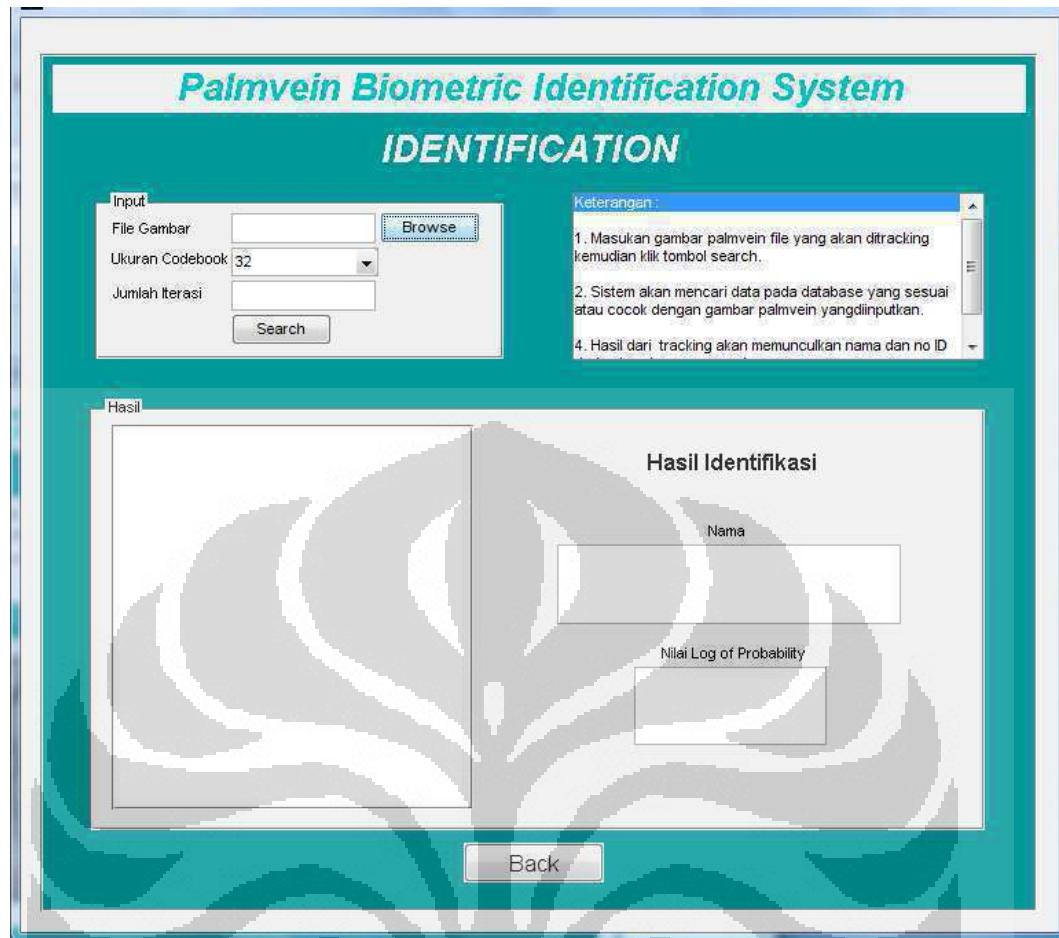
- Input gambar, *codebook* dan iterasi;
- Tentukan ROI dari gambar;
- Tingkatkan kontras pada gambar;

Ubah gambar ke biner;  
*Filter* gambar;  
*Thinning* gambar;  
Bagi matriks gambar kedalam bentuk *frame*;  
Hitung FFT masing-masing *frame*;  
Tentukan state;  
Panggil parameter HMM *database*;  
Hitung LoP dari masing data pada *database*;  
Hasil identifikasi = nilai maksimum dari LoP;  
Tentukan nama label dari hasil identifikasi;  
Selesai

Setelah proses pembuatan *database* dilakukan, langkah selanjutnya adalah proses identifikasi dari gambar *input* pembuluh darah telapak tangan dengan menggunakan parameter HMM yang telah disimpan kedalam *database*. Diagram alir proses identifikasi dapat dilihat pada Gambar 3.10.



Gambar 3.10 Diagram alir proses identifikasi



Gambar 3.11 Tampilan GUI identifikasi

Inputkan gambar yang akan diidentifikasi terlebih dahulu, beserta ukuran *codebook* dan jumlah iterasinya. Sama halnya pada proses pembentukan *database*, tentukan ROI gambar *input* dan kemudian diekstraksi terlebih dahulu untuk mendapatkan pola pembuluh darahnya. Matriks hasil ekstraksi diubah kedalam bentuk domain frekuensi guna mendapatkan nilai *real* dan imajinerinya menggunakan *fast fourier transform* (FFT). Hasil FFT tersebut dipetakan dalam bentuk *sample point*. Selanjutnya dari *sample point* dikuantisasikan ke satu titik *centroid* pada *codebook* untuk dicari statenya. State yang didapat akan dicocokkan dengan matriks-matriks dari parameter HMM dalam *database*. Dari parameter-parameter HMM tersebut dihitung besar *Log of Probability* (LoP) untuk semua data pada *database*. Gambar pada *database* yang memiliki kemiripan dengan gambar yang diinputkan akan memiliki nilai LoP yang lebih besar dibandingkan dengan data tidak ada kemiripan. *Database* dengan nilai LoP terbesar merupakan hasil identifikasi dari gambar yang diinputkan.

## BAB IV UJI COBA DAN ANALISA

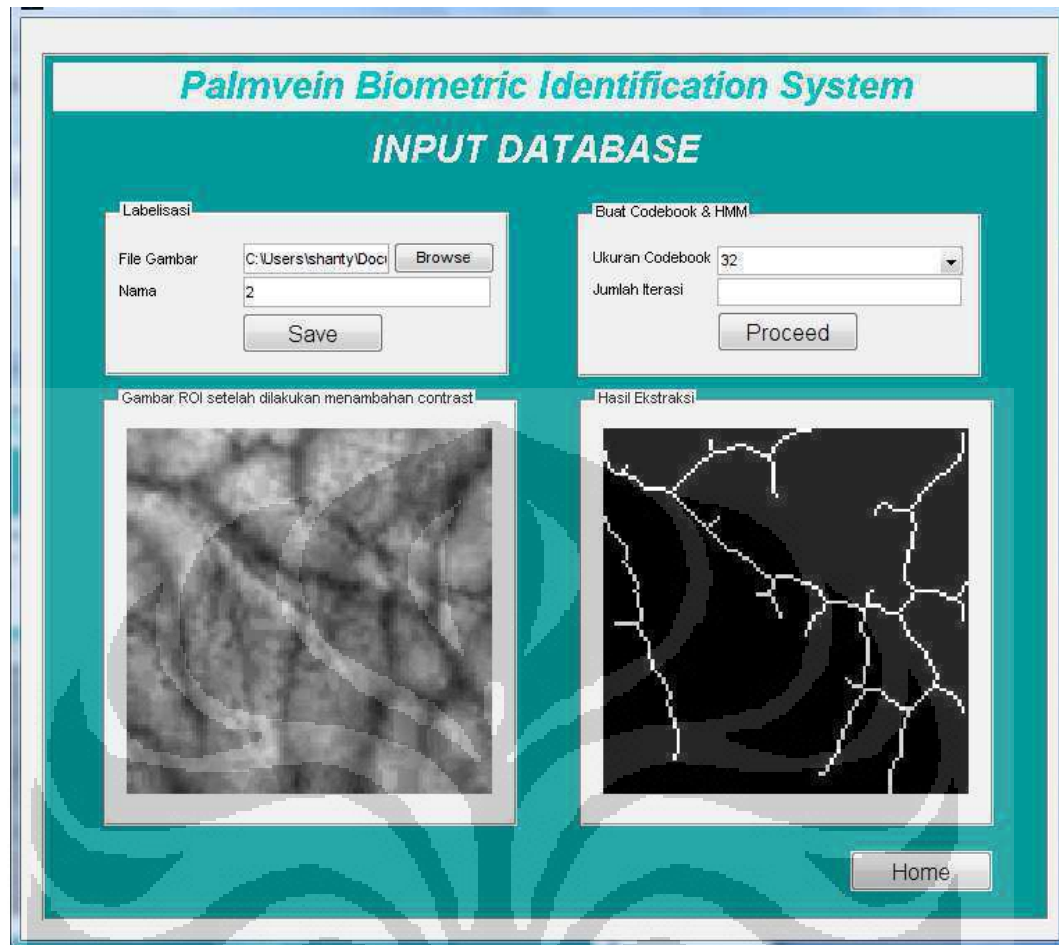
### 4.1 Uji Coba Sistem

Pada uji coba sistem dalam skripsi ini akan menggunakan data dari 40 (sepuluh) orang yang masing-masingnya memiliki 1 gambar untuk *training* dan 1 gambar untuk proses identifikasi, yang mana setiap gambar diambil pada waktu yang berbeda. Pengujian dilakukan pada 6 (enam) variasi ukuran *codebook*, diantaranya : 32, 64, 128, 256, 512 dan 1024. Dan jumlah iterasi yang diuji adalah 5, 10 dan 15. Setiap variasi ukuran *codebook* akan diterapkan pada setiap variasi jumlah iterasi, diantaranya :

1. Uji coba untuk ukuran *codebook* 32.
2. Uji coba untuk ukuran *codebook* 64.
3. Uji coba untuk ukuran *codebook* 128.
4. Uji coba untuk ukuran *codebook* 256.
5. Uji coba untuk ukuran *codebook* 512.
6. Uji coba untuk ukuran *codebook* 1024.

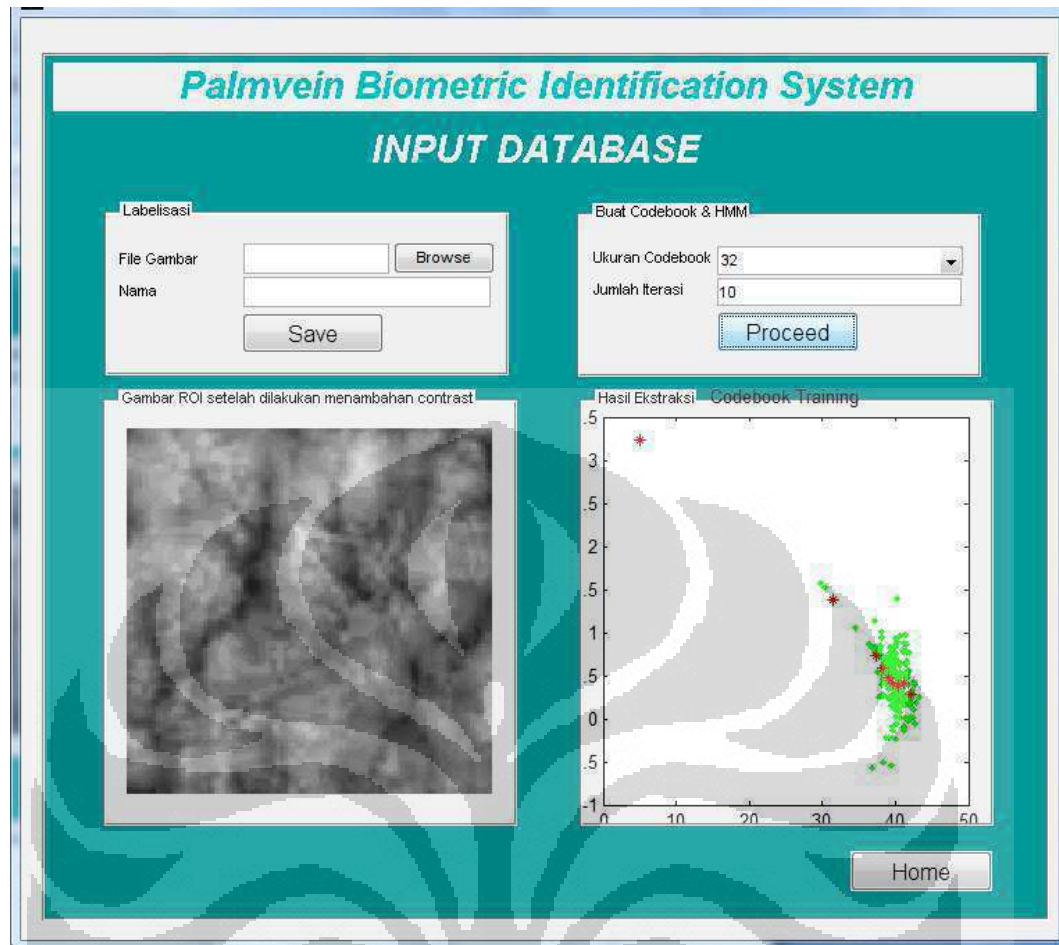
Langkah pengujian untuk proses *training database* dan identifikasi adalah sebagai berikut :

1. Untuk *training* dan *input database*, klik tombol ‘*Input Database*’ pada menu utama GUI. Masukkan gambar yang akan *ditraining* dengan mengklik tombol ‘*browse*’ dan nama pemilik gambar telapak tangan tersebut pada *field* ‘*Nama*’. Klik tombol ‘*save*’ pada bagian bawah, dan kemudian *inputkan* lagi gambar dan nama yang akan *ditraining* selanjutnya. Tahap inilah yang disebut sebagai labelisasi. Tampilan GUI akan terlihat seperti pada Gambar 4.1.

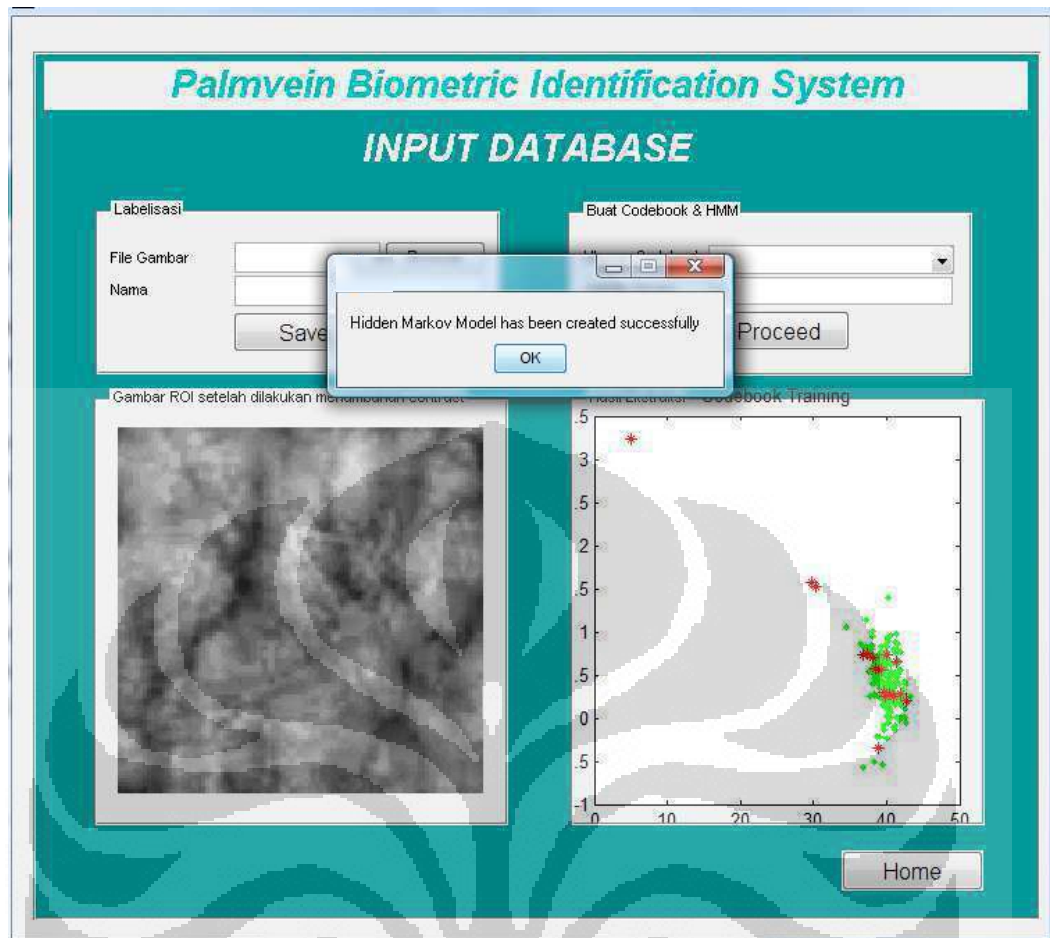


Gambar 4.1 Tampilan GUI setelah menginput gambar untuk *training database*

2. Setelah menginputkan gambar-gambar yang akan *ditraining*, langkah selanjutnya adalah menghitung *codebook* dan parameter HMM dari gambar-gambar yang telah *diinputkan*. Pilih ukuran *codebook* dan jumlah iterasi kemudian klik tombol '*Proceed*'. Apabila sistem sudah selesai menghitung nilai *codebook* dan parameter HMM dari masing-masing data, akan muncul pemberitahuan '*Hidden Markov Model have been created successfully*'. Pada Gambar 4.2 dapat dilihat hasil pembuatan *codebook*.

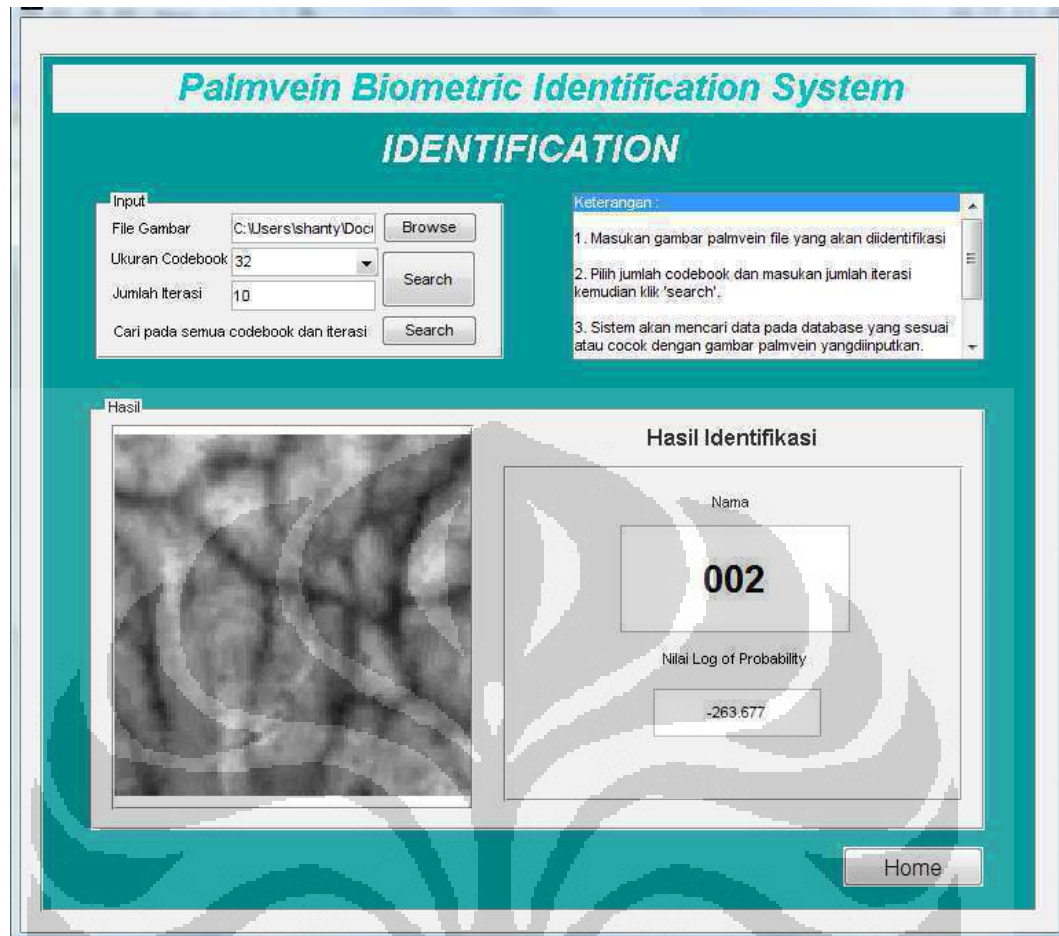


Gambar 4.2 Tampilan GUI saat *training codebook*



Gambar 4.3 Tampilan GUI saat sistem sudah berhasil membuat HMM

3. Tahap selanjutnya yaitu uji coba identifikasi. Gambar yang akan diidentifikasi diinputkan pada sistem untuk mengetahui apakah sistem bisa mengenali identitas dari pemilik pola pembuluh darah telapak tangan pada gambar tersebut. Klik 'browse' untuk memilih gambar yang diidentifikasi, disertai dengan menginputkan ukuran *codebook* dan jumlah iterasinya. Klik 'search' untuk memulai proses pengidentifikasian. Sistem akan menghitung nilai *Log of Probability* (LoP) dari masing-masing data pada *database* yang memiliki ukuran *codebook* dan jumlah iterasi yang sama dengan yang diinputkan. Dan kemudian hasil LoP terbesar akan ditampilkan pada *field* hasil pada GUI beserta dengan nama label dari data tersebut.



Gambar 4.4 Tampilan GUI pada saat identifikasi

#### 4.1.1 Hasil Uji Coba Untuk Ukuran *Codebook* 32

Pada Tabel 4.1 dapat dilihat hasil uji coba untuk ukuran *codebook* 32 pada jumlah iterasi 5, 10 dan 15.

Tabel 4.1 Hasil uji coba untuk ukuran *codebook* 32

| Nama File |   | 32  |     |     |
|-----------|---|-----|-----|-----|
|           |   | 5   | 10  | 15  |
| 001       | 2 | 001 | 001 | 001 |
| 002       | 2 | 040 | 020 | 002 |
| 003       | 2 | 004 | 003 | 003 |
| 004       | 2 | 011 | 011 | 004 |
| 005       | 2 | 004 | 005 | 005 |
| 006       | 2 | 029 | 021 | 027 |
| 007       | 2 | 037 | 037 | 007 |
| 008       | 2 | 012 | 008 | 008 |

|     |   |     |     |     |
|-----|---|-----|-----|-----|
| 009 | 2 | 029 | 023 | 007 |
| 010 | 2 | 010 | 010 | 010 |
| 011 | 2 | 020 | 011 | 011 |
| 012 | 2 | 015 | 013 | 013 |
| 013 | 2 | 020 | 020 | 020 |
| 014 | 2 | 014 | 012 | 014 |
| 015 | 2 | 024 | 015 | 015 |
| 016 | 2 | 029 | 016 | 016 |
| 017 | 2 | 020 | 031 | 017 |
| 018 | 2 | 029 | 012 | 018 |
| 019 | 2 | 029 | 019 | 001 |
| 020 | 2 | 031 | 031 | 031 |
| 021 | 2 | 028 | 031 | 028 |
| 022 | 2 | 002 | 007 | 022 |
| 023 | 2 | 040 | 034 | 040 |
| 024 | 2 | 024 | 024 | 015 |
| 025 | 2 | 025 | 025 | 025 |
| 026 | 2 | 022 | 008 | 026 |
| 027 | 2 | 028 | 011 | 028 |
| 028 | 2 | 028 | 031 | 028 |
| 029 | 2 | 029 | 029 | 029 |
| 030 | 2 | 030 | 020 | 030 |
| 031 | 2 | 025 | 025 | 031 |
| 032 | 2 | 029 | 012 | 032 |
| 033 | 2 | 033 | 033 | 035 |
| 034 | 2 | 004 | 004 | 047 |
| 035 | 2 | 035 | 035 | 035 |
| 036 | 2 | 012 | 036 | 036 |
| 037 | 2 | 012 | 037 | 037 |
| 038 | 2 | 038 | 038 | 038 |
| 039 | 2 | 040 | 039 | 039 |
| 040 | 2 | 040 | 011 | 040 |

#### 4.1.2 Hasil Uji Coba Untuk Ukuran *Codebook* 64

Pada Tabel 4.2 dapat dilihat hasil uji coba untuk ukuran *codebook* 64 pada jumlah iterasi 5, 10 dan 15.

Tabel 4.2 Hasil uji coba untuk ukuran *codebook* 64

| Nama File | 64  |     |     |
|-----------|-----|-----|-----|
|           | 5   | 10  | 15  |
| 001 2     | 001 | 019 | 001 |

|     |   |     |     |     |
|-----|---|-----|-----|-----|
| 002 | 2 | 029 | 019 | 002 |
| 003 | 2 | 003 | 019 | 003 |
| 004 | 2 | 029 | 004 | 004 |
| 005 | 2 | 011 | 005 | 005 |
| 006 | 2 | 027 | 006 | 027 |
| 007 | 2 | 001 | 001 | 007 |
| 008 | 2 | 008 | 008 | 008 |
| 009 | 2 | 008 | 008 | 009 |
| 010 | 2 | 010 | 019 | 010 |
| 011 | 2 | 011 | 019 | 011 |
| 012 | 2 | 018 | 040 | 012 |
| 013 | 2 | 011 | 019 | 011 |
| 014 | 2 | 029 | 019 | 014 |
| 015 | 2 | 008 | 008 | 027 |
| 016 | 2 | 008 | 021 | 016 |
| 017 | 2 | 029 | 017 | 035 |
| 018 | 2 | 008 | 018 | 018 |
| 019 | 2 | 020 | 019 | 029 |
| 020 | 2 | 029 | 019 | 020 |
| 021 | 2 | 028 | 021 | 024 |
| 022 | 2 | 008 | 008 | 022 |
| 023 | 2 | 011 | 019 | 027 |
| 024 | 2 | 024 | 024 | 029 |
| 025 | 2 | 025 | 025 | 008 |
| 026 | 2 | 008 | 027 | 026 |
| 027 | 2 | 027 | 008 | 027 |
| 028 | 2 | 028 | 019 | 028 |
| 029 | 2 | 004 | 029 | 029 |
| 030 | 2 | 030 | 019 | 030 |
| 031 | 2 | 029 | 031 | 031 |
| 032 | 2 | 029 | 032 | 032 |
| 033 | 2 | 033 | 033 | 033 |
| 034 | 2 | 011 | 011 | 034 |
| 035 | 2 | 038 | 035 | 035 |
| 036 | 2 | 036 | 036 | 008 |
| 037 | 2 | 016 | 037 | 037 |
| 038 | 2 | 028 | 038 | 038 |
| 039 | 2 | 022 | 039 | 039 |
| 040 | 2 | 011 | 011 | 029 |

### 4.1.3 Hasil Uji Coba Untuk Ukuran *Codebook* 128

Pada Tabel 4.3 dapat dilihat hasil uji coba untuk ukuran *codebook* 128 pada jumlah iterasi 5, 10 dan 15.

Tabel 4.3 Hasil uji coba untuk ukuran *codebook* 128

| Nama File | 128 |     |     |
|-----------|-----|-----|-----|
|           | 5   | 10  | 15  |
| 001_2     | 016 | 029 | 001 |
| 002_2     | 002 | 029 | 002 |
| 003_2     | 003 | 019 | 003 |
| 004_2     | 004 | 029 | 004 |
| 005_2     | 030 | 005 | 005 |
| 006_2     | 030 | 006 | 008 |
| 007_2     | 001 | 012 | 007 |
| 008_2     | 008 | 008 | 008 |
| 009_2     | 008 | 009 | 008 |
| 010_2     | 010 | 040 | 010 |
| 011_2     | 027 | 011 | 011 |
| 012_2     | 018 | 012 | 040 |
| 013_2     | 017 | 029 | 027 |
| 014_2     | 027 | 029 | 014 |
| 015_2     | 008 | 015 | 008 |
| 016_2     | 018 | 023 | 016 |
| 017_2     | 027 | 027 | 017 |
| 018_2     | 017 | 024 | 018 |
| 019_2     | 019 | 029 | 019 |
| 020_2     | 030 | 020 | 030 |
| 021_2     | 017 | 021 | 040 |
| 022_2     | 002 | 005 | 022 |
| 023_2     | 023 | 027 | 022 |
| 024_2     | 024 | 001 | 024 |
| 025_2     | 025 | 025 | 008 |
| 026_2     | 027 | 034 | 026 |
| 027_2     | 027 | 027 | 022 |
| 028_2     | 017 | 028 | 028 |
| 029_2     | 020 | 029 | 029 |
| 030_2     | 017 | 019 | 030 |
| 031_2     | 020 | 031 | 031 |
| 032_2     | 019 | 032 | 032 |
| 033_2     | 033 | 033 | 033 |
| 034_2     | 030 | 034 | 034 |
| 035_2     | 035 | 035 | 035 |

|     |   |     |     |     |
|-----|---|-----|-----|-----|
| 036 | 2 | 036 | 036 | 008 |
| 037 | 2 | 016 | 037 | 037 |
| 038 | 2 | 028 | 035 | 038 |
| 039 | 2 | 016 | 023 | 039 |
| 040 | 2 | 008 | 040 | 001 |

#### 4.1.4 Hasil Uji Coba Untuk Ukuran *Codebook* 256

Pada Tabel 4.4 dapat dilihat hasil uji coba untuk ukuran *codebook* 256 pada jumlah iterasi 5, 10 dan 15.

Tabel 4.4 Hasil uji coba untuk ukuran *codebook* 256

| Nama File | 256 |     |     |     |
|-----------|-----|-----|-----|-----|
|           | 5   | 10  | 15  |     |
| 001       | 2   | 029 | 029 | 001 |
| 002       | 2   | 029 | 002 | 002 |
| 003       | 2   | 003 | 029 | 003 |
| 004       | 2   | 004 | 004 | 004 |
| 005       | 2   | 030 | 005 | 017 |
| 006       | 2   | 027 | 027 | 006 |
| 007       | 2   | 007 | 029 | 007 |
| 008       | 2   | 023 | 008 | 008 |
| 009       | 2   | 036 | 009 | 039 |
| 010       | 2   | 005 | 010 | 010 |
| 011       | 2   | 030 | 048 | 040 |
| 012       | 2   | 012 | 018 | 034 |
| 013       | 2   | 011 | 038 | 011 |
| 014       | 2   | 029 | 029 | 014 |
| 015       | 2   | 012 | 015 | 015 |
| 016       | 2   | 029 | 037 | 016 |
| 017       | 2   | 027 | 010 | 017 |
| 018       | 2   | 018 | 018 | 017 |
| 019       | 2   | 019 | 019 | 040 |
| 020       | 2   | 011 | 011 | 020 |
| 021       | 2   | 026 | 021 | 017 |
| 022       | 2   | 011 | 022 | 022 |
| 023       | 2   | 027 | 023 | 014 |
| 024       | 2   | 001 | 024 | 024 |
| 025       | 2   | 025 | 039 | 017 |
| 026       | 2   | 027 | 027 | 026 |
| 027       | 2   | 027 | 029 | 011 |
| 028       | 2   | 029 | 028 | 028 |

|     |   |     |     |     |
|-----|---|-----|-----|-----|
| 029 | 2 | 029 | 029 | 029 |
| 030 | 2 | 030 | 030 | 030 |
| 031 | 2 | 029 | 031 | 031 |
| 032 | 2 | 001 | 032 | 032 |
| 033 | 2 | 033 | 030 | 033 |
| 034 | 2 | 027 | 034 | 034 |
| 035 | 2 | 035 | 035 | 035 |
| 036 | 2 | 036 | 036 | 036 |
| 037 | 2 | 037 | 037 | 036 |
| 038 | 2 | 028 | 025 | 038 |
| 039 | 2 | 039 | 039 | 039 |
| 040 | 2 | 027 | 040 | 040 |

#### 4.1.5 Hasil Uji Coba Untuk Ukuran *Codebook* 512

Pada Tabel 4.5 dapat dilihat hasil uji coba untuk ukuran *codebook* 512 pada jumlah iterasi 5, 10 dan 15.

Tabel 4.5 Hasil uji coba untuk ukuran *codebook* 512

| Nama File |   | 512 |     |     |
|-----------|---|-----|-----|-----|
|           |   | 5   | 10  | 15  |
| 001       | 2 | 001 | 029 | 001 |
| 002       | 2 | 002 | 002 | 002 |
| 003       | 2 | 003 | 029 | 003 |
| 004       | 2 | 002 | 004 | 002 |
| 005       | 2 | 020 | 010 | 005 |
| 006       | 2 | 006 | 034 | 026 |
| 007       | 2 | 021 | 007 | 007 |
| 008       | 2 | 008 | 021 | 008 |
| 009       | 2 | 040 | 040 | 009 |
| 010       | 2 | 020 | 005 | 010 |
| 011       | 2 | 040 | 011 | 011 |
| 012       | 2 | 012 | 018 | 012 |
| 013       | 2 | 027 | 038 | 040 |
| 014       | 2 | 014 | 029 | 014 |
| 015       | 2 | 039 | 015 | 015 |
| 016       | 2 | 023 | 006 | 016 |
| 017       | 2 | 027 | 017 | 005 |
| 018       | 2 | 002 | 002 | 018 |
| 019       | 2 | 019 | 005 | 019 |
| 020       | 2 | 020 | 005 | 020 |
| 021       | 2 | 040 | 021 | 021 |

|     |   |     |     |     |
|-----|---|-----|-----|-----|
| 022 | 2 | 002 | 026 | 022 |
| 023 | 2 | 020 | 023 | 023 |
| 024 | 2 | 004 | 024 | 024 |
| 025 | 2 | 025 | 025 | 025 |
| 026 | 2 | 026 | 026 | 027 |
| 027 | 2 | 027 | 027 | 027 |
| 028 | 2 | 003 | 028 | 028 |
| 029 | 2 | 029 | 029 | 002 |
| 030 | 2 | 040 | 030 | 030 |
| 031 | 2 | 021 | 031 | 031 |
| 032 | 2 | 010 | 032 | 032 |
| 033 | 2 | 033 | 030 | 033 |
| 034 | 2 | 027 | 034 | 034 |
| 035 | 2 | 021 | 035 | 035 |
| 036 | 2 | 036 | 036 | 036 |
| 037 | 2 | 036 | 037 | 037 |
| 038 | 2 | 010 | 038 | 025 |
| 039 | 2 | 039 | 039 | 039 |
| 040 | 2 | 027 | 040 | 040 |

#### 4.1.6 Hasil Uji Coba Untuk Ukuran *Codebook* 1024

Pada Tabel 4.6 dapat dilihat hasil uji coba untuk ukuran *codebook* 1024 pada jumlah iterasi 5, 10 dan 15.

Tabel 4.6 Hasil uji coba untuk ukuran *codebook* 1024

| Nama File |   | 1024 |     |     |
|-----------|---|------|-----|-----|
|           |   | 5    | 10  | 15  |
| 001       | 2 | 003  | 001 | 001 |
| 002       | 2 | 002  | 002 | 002 |
| 003       | 2 | 003  | 003 | 003 |
| 004       | 2 | 002  | 004 | 004 |
| 005       | 2 | 010  | 005 | 005 |
| 006       | 2 | 006  | 034 | 026 |
| 007       | 2 | 019  | 019 | 002 |
| 008       | 2 | 008  | 023 | 008 |
| 009       | 2 | 039  | 009 | 009 |
| 010       | 2 | 040  | 010 | 020 |
| 011       | 2 | 005  | 011 | 011 |
| 012       | 2 | 018  | 012 | 012 |
| 013       | 2 | 040  | 038 | 013 |
| 014       | 2 | 014  | 014 | 020 |

|     |   |     |     |     |
|-----|---|-----|-----|-----|
| 015 | 2 | 036 | 015 | 015 |
| 016 | 2 | 021 | 016 | 016 |
| 017 | 2 | 020 | 017 | 017 |
| 018 | 2 | 026 | 018 | 018 |
| 019 | 2 | 019 | 019 | 001 |
| 020 | 2 | 034 | 020 | 020 |
| 021 | 2 | 028 | 021 | 021 |
| 022 | 2 | 022 | 010 | 022 |
| 023 | 2 | 015 | 023 | 023 |
| 024 | 2 | 012 | 012 | 024 |
| 025 | 2 | 025 | 025 | 025 |
| 026 | 2 | 026 | 026 | 026 |
| 027 | 2 | 027 | 027 | 027 |
| 028 | 2 | 028 | 034 | 028 |
| 029 | 2 | 029 | 002 | 029 |
| 030 | 2 | 030 | 030 | 030 |
| 031 | 2 | 020 | 025 | 031 |
| 032 | 2 | 040 | 032 | 032 |
| 033 | 2 | 030 | 033 | 033 |
| 034 | 2 | 034 | 034 | 034 |
| 035 | 2 | 035 | 035 | 035 |
| 036 | 2 | 036 | 036 | 036 |
| 037 | 2 | 037 | 037 | 037 |
| 038 | 2 | 028 | 028 | 038 |
| 039 | 2 | 039 | 039 | 039 |
| 040 | 2 | 040 | 040 | 040 |

#### 4.2 Analisa Sistem

Dari hasil uji coba yang didapat sebelumnya, analisa dapat dilakukan dengan melihat perbedaan hasil antara ukuran *codebook* yang berbeda dan jumlah iterasi yang berbeda pula. Akurasi sistem dapat dihitung dengan membandingkan antara jumlah data yang dapat teridentifikasi dengan tepat dengan 50 jumlah data yang diidentifikasi secara keseluruhan. Berikut adalah kesimpulan akurasi setiap jumlah iterasi dan ukuran *codebook*.

Tabel 4.7 Persentase akurasi dari hasil percobaan

| Jumlah Iterasi | Ukuran <i>Codebook</i> |       |       |       |       |       |
|----------------|------------------------|-------|-------|-------|-------|-------|
|                | 32                     | 64    | 128   | 256   | 512   | 1024  |
| 5              | 30,0%                  | 30,0% | 32,5% | 37,5% | 40,0% | 47,5% |
| 10             | 45,0%                  | 47,5% | 52,5% | 60,0% | 60,0% | 75,0% |
| 15             | 70,0%                  | 72,5% | 70,0% | 70,0% | 82,5% | 87,5% |

#### 4.2.1 Pengaruh Variasi Ukuran *Codebook* Terhadap Tingkat Akurasi

Untuk jumlah iterasi yang sama, peningkatan ukuran *codebook* akan mempengaruhi persentase akurasi sistem. Secara garis besar, semakin besar ukuran *codebook* maka akan semakin besar tingkat akurasi sistem tersebut. Hal ini disebabkan karena ukuran *codebook* yang lebih besar akan membuat jumlah *centroid* semakin banyak. Banyaknya *centroid* ini membuat proses kuantisasi pemilihan nilai vektor data semakin teliti, sehingga pemetaan terhadap vektor data dapat dilakukan dengan jarak yang lebih kecil. Namun dari hasil percobaan terlihat bahwa pengaruh *codebook* tidak terlalu mempengaruhi persentase akurasi sistem. Dimana dengan peningkatan ukuran *codebook* hanya akan menambah satu sampai lima jumlah gambar yang teridentifikasi, dan ada juga yang memiliki persentase akurasi yang sama antara ukuran *codebook* yang satu dengan ukuran *codebook* lainnya, atau bahkan terjadi penurunan persentase akurasi jika menaikkan ukuran *codebook*. Hal ini terjadi karena adanya kemiripan karakteristik pola-pola pembuluh darah yang ada pada *database*, sehingga *centroid-centroid* dari keseluruhan sistem menjadi sangat berdekatan, dan menyebabkan kesulitan dalam proses identifikasi.

Semakin besar ukuran *codebook*, waktu pemrosesan juga akan semakin lama karena akan semakin banyak jumlah *centroid* yang akan dicari. Jadi menerapkan ukuran *codebook* yang lebih tinggi lagi akan menyebabkan sistem menjadi tidak efisien, sedangkan hasil yang didapatkan tidak terlalu berbeda. Karena untuk mendapatkan hasil uji coba yang efektif, perlu diperhatikan juga waktu pemrosesan dengan persentase akurasi yang tinggi.

#### 4.2.2 Pengaruh Variasi Jumlah Iterasi Terhadap Tingkat Akurasi

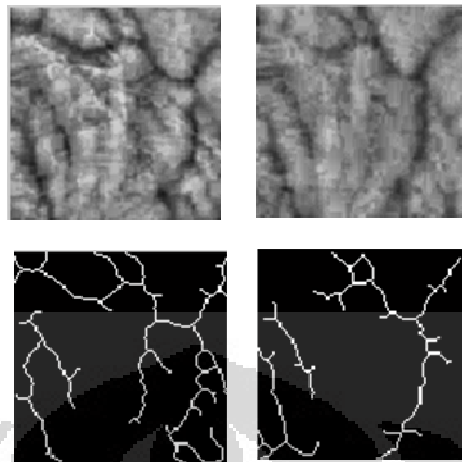
Dari data hasil percobaan, sangat jelas terlihat bahwa variasi jumlah iterasi sangat mempengaruhi tingkat akurasi sistem. Dimana semakin banyak jumlah

iterasi maka persentase tingkat akurasi akan semakin meningkat. Peningkatan akurasi ini jauh melebihi akurasi pada saat peningkatan ukuran *codebook*. Hal ini disebabkan semakin besar jumlah iterasi, maka akan semakin presisi letak *centroid* yang didapat pada saat pembuatan *codebook*, karena jumlah iterasi merupakan banyaknya proses pengulangan yang dilakukan dalam menentukan *centroid* guna mendapatkan *centroid* yang cukup presisi.

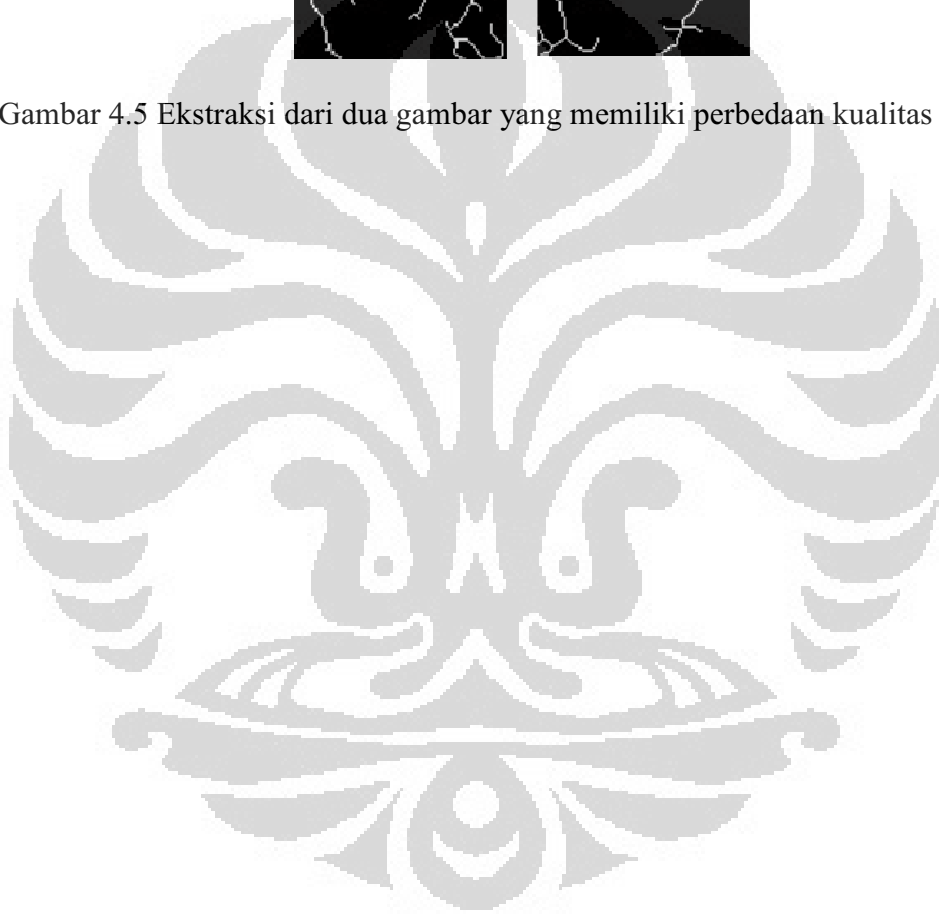
Sedangkan pada saat pembentukan HMM, iterasi merupakan banyaknya proses pengulangan yang dilakukan dalam mengolah parameter HMM guna mendapatkan probabilitas yang paling baik. Semakin besar jumlah iterasinya, maka akan semakin baik probabilitas yang didapat, namun terdapat suatu nilai iterasi dimana probabilitas yang didapat akan konstan atau relatif sangat kecil perubahannya. Selain itu, sama halnya dengan peningkatan ukuran *codebook*, peningkatan jumlah iterasi juga akan menyebabkan waktu pemrosesan menjadi lebih lama. Jadi, penerapan jumlah iterasi yang terlalu tinggi juga akan membuat sistem menjadi tidak efektif. Oleh karena itu, pada skripsi ini hanya membatasi jumlah iterasi hanya sampai 15 iterasi saja dengan akurasi yang sudah cukup tinggi.

#### **4.3 Faktor Lain Yang Mempengaruhi Tingkat Akurasi**

Selain variasi ukuran *codebook* dan jumlah iterasi yang akan mempengaruhi tingkat akurasi, faktor lain yang mempengaruhi tingkat akurasi adalah perbedaan tingkat kualitas dan kontras dari gambar. Perbedaan kualitas dan kontras ini dapat disebabkan dari berbagai faktor, diantaranya : temperatur tubuh, suhu lingkungan, dan kelembaban [12]. Hal ini akan mempengaruhi pola yang dihasilkan dalam ekstraksi gambar. Pada Gambar 4.5 dapat dilihat bahwa dua gambar dari telapak orang tangan yang sama diambil pada waktu yang berbeda. Antara kedua gambar tersebut terdapat perbedaan kontras. Sehingga hasil ekstraksi dari kedua gambar juga akan menghasilkan pola pembuluh darah yang berbeda. Pada gambar dengan kontras yang lebih rendah, terdapat garis yang tidak terdeteksi oleh sistem sehingga garis tersebut akan hilang pada saat proses ekstraksi. Hal ini menyebabkan berkurangnya informasi yang dapat diambil dari gambar dan memungkinkan sistem keliru dalam pengidentifikasian.



Gambar 4.5 Ekstraksi dari dua gambar yang memiliki perbedaan kualitas gambar



## **BAB 5 KESIMPULAN**

Dari hasil uji coba dan analisis yang dilakukan, maka dapat diambil beberapa kesimpulan, yaitu :

1. Nilai akurasi dari keseluruhan uji coba berkisar antara 30% sampai dengan 87,5%.
2. Peningkatan ukuran *codebook* akan meningkatkan persentase akurasi.
3. Penambahan jumlah iterasi juga akan meningkatkan persentase akurasi.
4. Penambahan jumlah iterasi lebih mempengaruhi persentase akurasi dari pada peningkatan ukuran *codebook*. Dimana penambahan jumlah iterasi akan meningkatkan persentase akurasi mencapai 25%, sedangkan peningkatan jumlah *codebook* hanya akan meningkatkan persentase akurasi sekitar 7%.
5. Untuk mendapatkan perangkat lunak yang efisien, sebaiknya ukuran *codebook* dan jumlah iterasi tidak terlalu besar, karena akan mempengaruhi kinerja sistem menjadi semakin lama. Selain itu, terdapat suatu nilai dimana ukuran *codebook* dan jumlah iterasi tidak terlalu mempengaruhi persentase akurasi dan relatif konstan.
6. Temperatur tubuh, suhu lingkungan, dan kelembaban pada saat gambar diambil akan mempengaruhi kualitas kontras citra masukan sehingga mengurangi tingkat akurasi pengidentifikasian.

## DAFTAR ACUAN

- [1] Huan Zhang, Dewen Hu. *A Palm Vein Recognition System*. National University of Defense Technology, China, 2010
- [2] Wolthusen, Stephen D., Busch, Christoph. *Development of Palm-vein Illumination and sensor system*.
- [3] Tan, Ewin. *Fujitsu PalmSecure Business Model*. Fujitsu Indonesia, Jakarta, 2011
- [4] Sarkar, I., Alisherov, F., Taihoon Kim. *Palm Vein Authentication System*. International Journal of Control and Automation, 2010
- [5] *Palm Vein Pattern Authentication Technology*. Fujitsu Computer Product of America, Inc, 2006
- [6] CASIA-MS-PalmprintV1, <http://biometrics.idealtest.org/>
- [7] Siahaan, Meilinda. *Implementasi Segmentasi Citra Menggunakan Metode Graph yang Efisien*. Universitas Sumatera Utara, Medan, 2009
- [8] Emy. *Peningkatan Mutu Citra (Image Enhancement) Pada Domain Spatial*. 2007
- [9] Sugiarto, Ferry. *Pengenalan Plat Mobil Dengan Skeletonisasi dan Hidden Markov Model*. Skripsi, Program Sarjana Fakultas Teknik Universitas Indonesia, Depok, 2007
- [10] Pribadi, Allpins. *Penerapan Hidden Markov Model Dalam Pengidentifikasian Gelombang Perubahan Fase Dari Gerakan Ikan*. Skripsi, Program Sarjana Fakultas Teknik Universitas Indonesia, Depok, 2004
- [11] Lam, L., Seong-Whan Lee, and Ching Y. Suen, *Thinning Methodologies-A Comprehensive Survey*. IEEE Transactions on Pattern Analysis and Machine Intelligence, Vol 14, No. 9, September 1992
- [12] Wong, K., Lai, T., Bosco Lee, Shum, F. *Analysis of Palm Vein Biometric System*

## DAFTAR PUSTAKA

- Sugiarto, Ferry. *Pengenalan Plat Mobil Dengan Skeletonisasi dan Hidden Markov Model*. Skripsi, Program Sarjana Fakultas Teknik Universitas Indonesia, Depok, 2007
- Pribadi, Allpins. *Penerapan Hidden Markov Model Dalam Pengidentifikasian Gelombang Perubahan Fase Dari Gerakan Ikan*. Skripsi, Program Sarjana Fakultas Teknik Universitas Indonesia, Depok, 2004
- Saaddatuddaroin. *Perancangan Perangkat Lunak Sendor Tsunami dengan Teknik Hidden Markov Model*. Skripsi, Program Sarjana Fakultas Teknik Universitas Indonesia, Depok, 2009
- Andriani, Evi. *Analisa Dan Identifikasi Berbagai Penyakit Paru-paru Dengan Metode Hidden Markov Model*. Skripsi, Program Sarjana Fakultas Teknik Universitas Indonesia, Depok, 2009